

230  
1995



თბილისის უნივერსიტეტის ურობები

ТРУДЫ ТБИЛИССКОГО УНИВЕРСИТЕТА  
PROCEEDINGS OF TBILISI UNIVERSITY

318

ISSN—0376—2637

კიბერნეტიკა. გამოყენებითი მათემატიკა  
КИБЕРНЕТИКА. ПРИКЛАДНАЯ МАТЕМАТИКА  
CYBERNETICS. APPLIED MATHEMATICS

17

106

თბილისი Тбилиси Tbilisi  
1995



ИЗДАТЕЛЬСТВО ТБИЛИССКОГО УНИВЕРСИТЕТА  
თბილისის უნივერსიტეტის გამომცემლობა  
TBILISI UNIVERSITY PRESS

106





თბილისის უნივერსიტეტის შრომები

PROCEEDINGS OF TBILISI UNIVERSITY

ტ. 318 v.

კ ი ბ ე რ ნ ე ტ ი კ ა

მათემატიკის მათემატიკა

CYBERNETICS

APPLIED MATHEMATICS

თბილისი 1995 Tbilisi



Труды Тбилисского университета

т. 318

КИБЕРНЕТИКА  
ПРИКЛАДНАЯ МАТЕМАТИКА

Тбилиси 1995





**Редакционная коллегия**

Г.Л.Арсенишвили, Н.Н.Вахания, Р.В.ГамкRELIDZE,  
Т.Г.Гачечиладзе, Р.А.Кордзadze, Р.П.Мегрелишвили,  
(секретарь), Г.В.Меладзе, В.В.Чавчанидзе (редактор).

**სარედაქციო კრებული**

გ.არსენიშვილი, რ.ვახანიძე, რ.გამკრელიძე,  
ტ.გაჩეჩილაძე, რ.კორძაძე, რ.მეგრელიშვილი (დიპლომატი),  
გ.მელაძე, ვ.ვ.ჩაუჩანიძე (რედაქტორი)

**EDITORIAL BOARD**

G.Arsenishvili, V.Chavchanidze (editor), T.Gachechiladze,  
R.Gamkrelidze, R.Kordzadze, R.Megrelishvili (secretary),  
H.Meladze, N.Vakhania.



იმ. ი. ჯავახიშვილი

თბილისის ივ. ჯავახიშვილის სახელობის სახელმწიფო

უნივერსიტეტის შრომები

318, 1995

სწრაფად დაკრძალვადი ენობრივი კოდი

მ. კონიაშვილი

14502

სტატიაში განხილულია მიმდევრობით სწრაფად დეკოდირებადი ტყის კოდი. დეკოდირების სისწრაფე შედარებულია ჰაფინის კოდის დეკოდირების სისწრაფესთან. ნაჩვენებია მხოლოდ დეკოდირების უკონსტანტობა და არ არის განხილული კოდის აგების სისწრაფე. ჩვენ ვგულისხმობთ, რომ ერთი კოდის დეკოდირება უფრო სწრაფია მეორე კოდის დეკოდირებაზე, თუ ნაკლებია დეკოდირების დროს შესრულებული ოპერაციების (მიჯვრების) რაოდენობა.

შემოვიტანოთ შემდეგი აღნიშვნები:

$n$  - საწყისი (წყაროს) აღსავიჭის სიმბოლოთა რაოდენობა.

$q_i$  -  $i$ -ური სიმბოლოს სიხშირე.

$l_i$  -  $i$ -ური კოდის სიგრძე.

$L = \sum_{i=1}^n l_i$  - გადამკოდირებული ინფორმაციის სიგრძე.

$M_j$  -  $j$ -ურ სტრუქტურაში სიმბოლოთა რაოდენობა.

$K = \lceil \log_2 n \rceil - \lceil \log_2 \lceil \log_2 n \rceil \rceil$  - დაშვებულ აღნიშვნა.

შეაჯამოთ განსაკუთრებულ მრავალი ვარიანტს შემდეგ აღნიშვნებით:

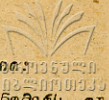
ა) დადასტურებული საწყისი აღსავიჭის სიმბოლოები სიხშირის ზრდაობის მიხედვით.

ბ) დადასტურებული სიმბოლოები გავეთ  $2^K$  სტრუქტურად ისე, რომ ავტომატურად სიმბოლოთა რაოდენობა წარმოადგენდეს  $2$ -ის რამდენიმე ხარისხს და ამავე დროს სიხშირეთა ჯამი საკმაოდ ახლოს იყოს სიგრძესთან:

$$\sum_{i=1}^n q_i / 2^K$$

საბჭოთა კავშირის  
თბილისის სახელმწიფო უნივერსიტეტი





ვ) სრული სიმბოლოს კოდი ავსოვთ შედეგში ფორმულით:  $K = \sum_{i=1}^n p_i \log_2 \frac{1}{p_i}$   
სიმბოლოს კოდი =  $K$  თანრიგის სვეტიწმის ნომერს, აუ

სვეტიწმის ნომერი ერთი სიმბოლოა.

სიმბოლოს კოდი =  $K$  თანრიგის სვეტიწმის ნომერს  $II$  (კონ-  
კრეტულია)  $\lceil \log_2 M \rceil$  თანრიგის სიმბოლოს რიცხვი ნომერი  
სვეტიწმის, აუ სვეტიწმით ერთზე მეტი სიმბოლოა.

გ) ავსოვთ შედეგს ანუ უბრალოდ მოსაზრებები ურვევით  
შედეგის მაგალითის საფუძველზე ვამტყობთ მოცემულია შემთხვევა:  
*This is a simple example of Huffman encoding.*  
ბმ შემთხვევისათვის ავსოვთ სვეტიწმის ხე ნაწილებით  $I$ -ც სურათზე, ხოლო ავსო-  
ვნიან კოდი -  $I$ -ც ცხრილში.

ავსოვთ კოდი იგივე შემთხვევისათვის გვერთ მოყვანილი ადგილი-  
ში.

ა) დადასტოვდეს სიმბოლოები სიმბოლოს მიხედვით მოცემულია  
ცხრილი 2-ში.

ბ) გვერთ მოყვ 5-ილი მიხედვითაა უნდა ავსოვთ  $2^3$  -ის ნაწი-  
ლად (სვეტიწმად) ისე, რომ ყოველ სვეტიწმით იყოს 2-ის ხარისხი რა-  
ოდესაც სიმბოლოები და სიმბოლოა ჯამი "ხარის" იყოს სიდიდესთან  
 $4 \cdot 2^3 = 5,5$  (სიმბოლო ცხრილი 3).

ვ) სიმბოლო  $A$  -ის კოდი იქნება 3 თანრიგის სვეტიწმის  
ნომერი (000), რადგან  $A$  სვეტიწმით ხოლო ერთი სიმბოლოა. ანალო-  
გიურად  $E$  -ს კოდი იქნება 001. სიმბოლო  $I$ -ს კოდი იქნება 3 თანრი-  
გის სვეტიწმის ნომერს (010-ის) კონკრეტულია  $\lceil \log_2 2 \rceil = 1$   
თანრიგის სვეტიწმით სიმბოლოს რიცხვი ნომერს (0-თან). ე. ი. სიმ-  
ბოლო  $I$ -ს კოდი  $010 \parallel 10 = 0100$ . ანალოგიურად  $A$  -ს კოდი  $010 \parallel 1 = 0101$ . ა. შ. სიმბოლო  $X$ -ის კოდი იქნება 3 თანრიგის სვე-  
ტიწმის ნომერს (111-ის) კონკრეტულია  $\lceil \log_2 4 \rceil = 2$  თანრიგის  
სვეტიწმით სიმბოლოს რიცხვი ნომერს (11-თან), რადგან ავსოვს 1111-ს.  
გვერთ მიერ ავსოვთ კოდი მოყვანილია ცხრილი 4-ში.



սցեդրներ, որոնք  $\sum_{i=1}^{18} q_i = 175$ , որի  $\sum_{i=1}^{18} q_i = 175$  թվերն են:

Սակայն  $L_H = \sum_{i=1}^{18} q_i = 175$ , և  $L'_H = \sum_{i=1}^{18} q_i = 175$ . Երկրորդ, մասնավոր, մասնավոր  $L_H = L'_H$  մասնավոր  $L_H \leq L'_H$ .

Սակայն  $L_H = L'_H$  մասնավոր  $L_H \leq L'_H$ . Երկրորդ, մասնավոր, մասնավոր  $L_H = L'_H$  մասնավոր  $L_H \leq L'_H$ . Երկրորդ, մասնավոր, մասնավոր  $L_H = L'_H$  մասնավոր  $L_H \leq L'_H$ .

Սակայն  $L_H = L'_H$  մասնավոր  $L_H \leq L'_H$ . Երկրորդ, մասնավոր, մասնավոր  $L_H = L'_H$  մասնավոր  $L_H \leq L'_H$ .

1) Երկրորդ, մասնավոր  $L_H = L'_H$  մասնավոր  $L_H \leq L'_H$ . Երկրորդ, մասնավոր, մասնավոր  $L_H = L'_H$  մասնավոր  $L_H \leq L'_H$ .

$$i = B_j + 1$$

Սակայն  $B_0 = 0, B_j = B_{j-1} + M_{i-1}, i = 1, 2, \dots, k-1$ . Երկրորդ, մասնավոր, մասնավոր  $L_H = L'_H$  մասնավոր  $L_H \leq L'_H$ .

Սակայն  $i = B_x + 0 + 1 = 15 + 1 = 16$ . Երկրորդ, մասնավոր, մասնավոր  $L_H = L'_H$  մասնավոր  $L_H \leq L'_H$ .



მე-16 სიმბოლოს დადასტურებულ მიმდევრობაში არის  $T$ .

მესამე იტერაციამდე გვიძობლებოთ  $M$  თანრიგს 101-ს. რაგვან

მე-5 (101<sub>2</sub> = 5) სვეტიწმენი სიმბოლოთა რაოდენობა აღემატება 1-ს, ვეძობლებოთ  $J$  სვეტიწმენი  $L=1$  თანრიგს 6-ს. ვითვლით ინდექსს:

$$i = B_5 + 0 = 6.$$

მე-8 სიმბოლოს დადასტურებულ მიმდევრობაში არის  $H$  და  $A$ .

ჩვენი მეორე ავტობურ კოდეში ' ' და  $E$  -ს დეკოდირებას

სჭირდება თორმეტი სვეტიწმენი ნომერს, ანალიზი, ხოლო დანარჩენებს, როგორც სვეტიწმენის ნომერს. ამხვევ სიმბოლოს ნომერს სვეტიწმენში.

მეშასადაბრე სიმბოლო ' ' და  $E$  დეკოდირდება ერთ, დანარჩენები -

ორ იტერაციამდე. თველი კოდეში დეკოდირებას სჭირდება  $7+4+2 \times 33 = 77$

იტერაციამ. უ.რ. იტერაციების რიცხვი  $M$  სვეტიწმენის კოდეში დეკოდირებას-

თან შედარებით შეფერხდა  $175/77 \approx 2,27$  ჯერ.

დასკვნა: შეერთაფართოებელი კოდეში სინტეზისათვის გვაქვს შემდეგი შეფასებები:  $L \geq L_M$ . მათთანაღებრი იტერაციების რიცხვი დეკოდირებისას უფროს  $2M$ . ამასთან აღნიშნული ადგომითელი სვეტიწმენი მათთანაღებრი (პროგრამული) ადვილად განსაზღვრავს იტერაციების რიცხვს.

შეშორება № 0. IX. 1993.

ეგვი-ს მათთანაღებრი  
იტერაციების კოდეში

ლიტერატურა

1. Хайфмен Д., Построение кодов с минимальной избыточностью, Кибернетический сборник, 3(1961), с.79-87.
2. Хэмминг Р.В., Теория кодирования и теория информации, Пер. с англ. - М.: Радио и связь, 1983.
3. Abramson N., Information theory and coding, New York: Mc-Gray-Hill, 1963.



М.М.Кониашвили

# БЫСТРО ДЕКОДИРУЕМЫЙ ЭФФЕКТИВНЫЙ КОД

## Резюме

Рассмотрен последовательно быстро декодируемый мгновенный код. Скорость декодирования сравнена с кодом Хаффмена. Показано превосходство только в скорости декодирования.

M.Koniashvili

# FAST DECODABLE EFFECTIVE CODE

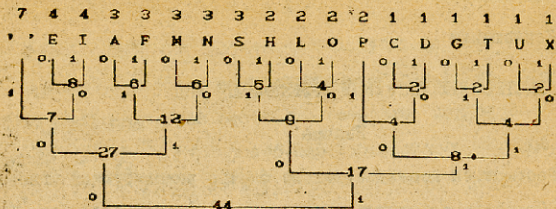
## Summary

A sequentially fast decoding code is considered and its decoding speed is compared with the Huffman code. The former has been found to be superior only in the speed of decoding.





სურათი 1.



ცხრილი 1.

საზნობო	სიხშირე	პეგმენის კოდი	კოდის სიგრძე
• •	7	000	3
E	4	0010	4
I	4	0011	4
A	3	0100	4
F	3	0101	4
M	3	0110	4
N	3	0111	4
S	3	1000	4
H	2	1001	4
L	2	1010	4
O	2	1011	4
P	2	11000	5
C	1	11001	5
D	1	11011	5
G	1	11100	5
T	1	11101	5
U	1	11110	5
X	1	11111	5

ცხრილი 2.

საზნობო	• •	E	I	A	F	M	N	S	H	L	O	P	C	D	G	T	U	X
სიხშირე		7	4	4	3	3	3	3	3	2	2	2	2	1	1	1	1	1

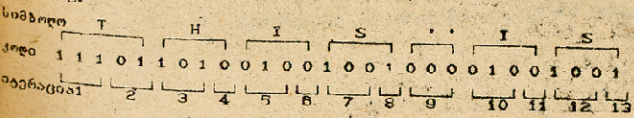
ცხრილი 3.

სიმბოლო	E	I	A	F	M	N	S	H	L	O	P	C	D	G	T	U	X
სახშირთა ჯამი	7	4	7	6	6	4	4	4	4	4	4	4	4	4	4	4	4
სეგმენტი	0	1	2	3	4	5	6	7	8	9	10	11	12	13	14	15	16

ცხრილი 4.

სიმბოლო	სახშირი	სეგმენტი	სიმბოლოს ნომერი სეგმენტში	კოდი
	7	0 = 000 <sub>2</sub>	-	000
E	4	1 = 001 <sub>2</sub>	-	001
I	4	2 = 010 <sub>2</sub>	0	0100
A	3	2 = 010 <sub>2</sub>	1	0101
F	3	3 = 011 <sub>2</sub>	0	0110
M	3	3 = 011 <sub>2</sub>	1	0111
N	3	4 = 100 <sub>2</sub>	0	1000
S	3	4 = 100 <sub>2</sub>	1	1001
H	2	5 = 101 <sub>2</sub>	0	1010
L	2	5 = 101 <sub>2</sub>	1	1011
O	2	6 = 110 <sub>2</sub>	00	11000
P	2	6 = 110 <sub>2</sub>	01	11001
C	1	6 = 110 <sub>2</sub>	10	11010
D	1	6 = 110 <sub>2</sub>	11	11011
G	1	7 = 111 <sub>2</sub>	00	11100
T	1	7 = 111 <sub>2</sub>	01	11101
U	1	7 = 111 <sub>2</sub>	10	11110
X	1	7 = 111 <sub>2</sub>	11	11111

სეხრილი 2.







მედიცინის ივ. ჯავახიშვილის სახელობის სახელმწიფო  
უნივერსიტეტის შრომები

318, 1995

ქროსპარობის გამოთვლიური მეთოდის დინამიკის მართვადი  
შეივის გამოთვლიური ამოცანის ამოცანა ვიზუალიზაციის  
მიმდებარებით - კარადელის სისტემაზე

პ. მელაძე, კ. ვაჭიშვილი

განვიხილოთ დინამიკის მართვადი შეივის მართვადი ამო-  
ცანა [1]: ცილინდრში  $D^+x[0, \infty)$  ვიზუალიზაციის ვიზუალიზაციის  
 $\vec{u} \in C^1(D^+x[0, \infty)) \cap C^2(D^+x[0, \infty))$ , რომელიც არის შეივის განვითარების ამო-  
ცანა...

$$\frac{\partial^2 \vec{u}}{\partial t^2} = \mu \Delta \vec{u} + (\lambda + \mu) \text{grad div } \vec{u} + \vec{p}_0 \quad (1)$$

და აკრძალვითებს რჩება:

$$\forall (\vec{x}, t): \{T(\vec{a}_{\vec{x}}, \vec{n}) \vec{u}(\vec{x}, t)\}^+ \equiv \lim_{D \ni \vec{x} \rightarrow \vec{x} \in S} T(\vec{a}_{\vec{x}}, \vec{n}) \vec{u}(\vec{x}, t) = 0, \quad (2)$$

$(\vec{x}, t) \in S^+ [0, \infty)$ ,  $S - D$  არის საზღვარა:

$$\forall \vec{x} \in D^+: \vec{u}(\vec{x}, 0) = 0, \quad \frac{\partial \vec{u}}{\partial t}(\vec{x}, 0) = 0, \quad (3)$$

$D$  - ერთეულოვანი ადრია,  $T(\vec{a}_{\vec{x}}, \vec{n}(\vec{x}))$  - დასაბუღლობის მართვადი-  
ცონა,  $\vec{n}(\vec{x})$  - ერთეულოვანი ვექტორია, რომელიც  $S$ -ის მართვადი-  
ბია  $\vec{x}$  ნერტიში,  $\lambda$  და  $\mu$  - დამტყ კოეფიციენტებია. ნუგა-  
ნუგავითა ატრუვა, რომ სრულდება შეივის ვიზუალიზაციის პირობები [1]  
აი ამოცანის ამოცანის არსებობს და ერთადერთია [1]



(1)-(3) ստորանիս րոտորու ստոսնիսսուցիս ցանցիս ուս թիւ-  
բոցի յարմարիւրի սեցառոնի սիւրս ցարթորութիւն թըրսթորու [3]:

$$(\hat{E} + \tau^2 R) \vec{y}_{Tt} = \Lambda \vec{y} + \vec{\varphi}, \quad (4)$$

$$\vec{t} \vec{y}(\vec{x}, t) = 0, \quad \vec{x} \in S, \quad t \in \bar{\omega}_\tau, \quad (5)$$

$$\vec{y}(\vec{x}, 0) = 0, \quad \vec{y}_t(\vec{x}, 0) = \frac{1}{2} \tau \vec{P}_0(\vec{x}, 0), \quad \vec{x} \in \bar{\omega}_H, \quad (6)$$

Սաքաց  $\vec{\varphi} = \vec{P}_0$  - սոսսցաւո զանթուրոցիս թարգընս թարցս, թըրսթորու  
 $R = \sum_{\alpha=1}^3 R_\alpha = -\sigma \sum_{\alpha=1}^3 \gamma_{T\alpha} \tau_\alpha$  զանիսսաւըրցոնս [3] - թի,  $\tau$  - ըրոտու  
 թուքոն; թըրսթորու  $\Lambda$  սլըտուս [3]:

$$\Lambda u^S = \sum_{\beta=1}^3 \left[ \mu u_{T\beta}^S + \frac{1}{2} (\theta + \mu) (u_{T\beta}^0 \tau_\beta^S + u_{T\beta}^0 \tau_\beta^S) \right], \quad (7)$$

Եւ ուս թըրսթորու  $\vec{t}$   $S = 1, 2, 3$ ,  
 յի սլըտու [4]:

$$\begin{aligned} \vec{t} \vec{u} = & \left\{ [(2\mu + \theta) u_{1\vec{x}} + \theta u_{2\vec{y}} + \theta u_{3\vec{z}}] n_1 + \mu (u_{1\vec{y}} + u_{2\vec{x}}) n_2 + \mu (u_{1\vec{x}} + u_{3\vec{z}}) n_3, \right. \\ & \mu (u_{2\vec{x}} + u_{1\vec{y}}) n_1 + [\theta u_{1\vec{x}} + (\theta + 2\mu) u_{2\vec{y}} + \theta u_{3\vec{z}}] n_2 + \mu (u_{2\vec{x}} + u_{3\vec{y}}) n_3, \\ & \left. \mu (u_{3\vec{x}} + u_{1\vec{x}}) n_1 + \mu (u_{3\vec{y}} + u_{2\vec{x}}) n_2 + [\theta u_{1\vec{x}} + \theta u_{2\vec{y}} + (\theta + 2\mu) u_{3\vec{z}}] n_3 \right\}. \quad (8) \end{aligned}$$

(5)-(6) սիւրսիս  $j+1$  - ըրոտու թըրցի  $\vec{y}^{j+1}$  ուս թիւր  
 թնս զանցընընս թարթիւրըրոնս թըրցի սսթըրցիս ստոսնսսաց [3]:

A)  $(\hat{E} + \tau^2 R_1) \vec{w}_{(1)} = \vec{F}, \quad \vec{F} = \sum_{\alpha=1}^3 (\hat{E} + \tau^2 R_\alpha) \vec{y}_T + \tau (\Lambda \vec{y} + \vec{\varphi}),$

B)-C)  $(\hat{E} + \tau^2 R_\alpha) \vec{w}_{(\alpha)} = \vec{w}_{(\alpha-1)}, \quad \alpha = 2, 3,$

$$\vec{y}^{j+1} = \vec{y}^j + \tau \vec{w}_{(3)}, \quad (9)$$

Սաքաց  $\vec{w}_{(\alpha)}$  - թիս սսթընս թըրցի սսսաւըրո թըրցի:



$$\begin{cases} \vec{w}_{(1)} = (\hat{E} + \tau^2 R_2)(\hat{E} + \tau^2 R_3) \vec{J}_T, & \alpha = 0, 1; \\ \vec{w}_{(2)} = (\hat{E} + \tau^2 R_3) \vec{J}_T, & \alpha = 0, 1; \end{cases} \quad (10)$$

$$\vec{w}_{(2)} = (\hat{E} + \tau^2 R_3) \vec{J}_T, \quad \alpha = 0, 1; \quad (11)$$

$$\vec{w}_{(3)} = \vec{J}_T = \frac{\vec{y}^j - \vec{y}^{j-1}}{\tau}, \quad j = 1, 2, \dots \quad (12)$$

$\vec{y}^j$  გამოითვლება (5) განტოლებათა სისტემიდან, რისთვისაც ამ სისტემას ვარდაცემით შევღებოთ მსჯელობის საფუძველზე,  $y_k(x_n - \delta_n h)$  -თვის შევიღებოთ დავა ერთ გამოსახებულად:

$$y_k(x_n - \delta_n h) = y_k^{j-1}(x_n - \delta_n h) + \tau y_{kT}^{j-1}(x_n - \delta_n h) + O(\tau^2), \quad (13)$$

$$\delta_n = \delta_n(x_n, x_n - h, x_n + h) = \begin{cases} 1, & x_n = x_n, x_n - h \in D, x_n + h \in D, \\ -1, & x_n = x_n, x_n - h \notin D, x_n + h \in D. \end{cases} \quad (14)$$

(13)-ის საფუძველზე განვსაზღვროთ (5) - ში შევიღებოთ ნარ-  
მოვლები საფუძველზე შევიღებოთ:

$$(\vec{y}_{kT}^j)' = \frac{\delta_n}{h} y_k^j(x_n) - \frac{\delta_n}{h} y_k^{j-1}(x_n - \delta_n h) + \frac{\delta_n}{h} y_k^{j-2}(x_n - \delta_n h), \quad (15)$$

რის შედეგად (5)-ის ნაგვად  $\vec{y}_{kT}^j(\vec{x})$  -თვის ვიღებოთ სისტემას:

$$\frac{\Delta}{\tau} \vec{y}(\vec{x}, t) = \vec{E}^j, \quad (16)$$

რომელიც იხსნება უშუალოდ.

შედეგად შეიქმამი რიცხობრივი ალგორითმის შესაბამისი  
გამოთვლების ზღვა-სტრუქტურა "მიმდევრითი მარჯვნივით" (ნახ. 1).  
შევიღებოთ, რომ  $j=1$ . შრისთვის გამოთვლები გამოყოფილია ცალკე,  
ვიწყოფოთ (9) სისტემების ამოხსნისას (10) და (11) საბაზისო პი-  
რობები ითვლება უშუალოდ საწყისი მონაკვეთების საფუძველზე, ხოლო (16)  
სისტემებში  $\vec{E}^j$  -ს გამოსახებულები ატარებენ გამოთვლები უშუალოდ



საწყისი პირობების საფუძველზე და ამ მონაკვეთს აქვთ განსხვავებული სახე. ციკლი მრეცხის მიხედვით იწყება  $j=2$  - დან.

განვიხილოთ ბლოკ-სტრუქტურის I ბლოკი: ეს ბლოკი შეიცავს შემდეგ ქვეპროგრამებს:

$N1$  - ეს ქვეპროგრამა ახდენს  $N$  წიბრის მიხედვით  $(x_1(N)-\delta_1(N)h, x_2(N), x_3(N))$  საბოლოო წიბრის ( $K$ -ს);

$N2$  - უახლოვდება საბოლოოს  $(x_1(N), x_2(N)-\delta_2(N)h, x_3(N))$ ;

$N3$  -  $(x_1(N), x_2(N), x_3(N)-\delta_3(N)h)$ -ს;

$NS1, NS2, NS3$  - კუბის წახრახვების მიხედვით კვანძების განაწილების ქვეპროგრამები;

$B$  -  $b_1^j(N), b_2^j(N), b_3^j(N)$ -ების გამოთვლის ქვეპროგრამა;

$D$  - დამატებითი წიბრის დათვლის ქვეპროგრამა;

$T$  -  $y_1^j(N), y_2^j(N), y_3^j(N)$  - ეშის დათვლის ქვეპროგრამა;

$M$  -  $m_{1j}^j(N), m_{2j}^j(N), m_{3j}^j(N)$  -ების დათვლის ქვეპროგრამა;

ბლოკ-სტრუქტურის II ბლოკი შეიცავს შემდეგ ქვეპროგრამებს:

$N$  - კვანძის წიბრის ძიების ქვეპროგრამა;

$N12$  -  $(x_1(N)-\delta_1(N)h, x_2(N)-\delta_2(N)h, x_3(N))$  კვანძის წიბრის ძიების ქვეპროგრამა;

$N13$  - უახლოვდება  $(x_1(N)-\delta_1(N)h, x_2(N), x_3(N)-\delta_3(N)h)$  ს;

$N23$  - უახლოვდება  $(x_1(N), x_2(N)-\delta_2(N)h, x_3(N)-\delta_3(N)h)$ -ს;

$F(9)$ -ის  $A$  ჯგუფის სისტემების რანჟირება წახრახვების გამოთვლის ქვეპროგრამა;

$W$  - (9)-ში შეტანადი სისტემების ამოხსნის რამდენიმე ცენტრილი მეთოდის შესაბამისი ქვეპროგრამა;

$Y$  -  $y_1^{j+1}(N), y_2^{j+1}(N), y_3^{j+1}(N)$  - ეშის გამოთვლის ქვეპროგრამა.

განვიხილოთ აღწერილი უდიდესი მიმდევრობითი გამოთვლის ციკლის "გაპარალელურება" სტრუქტურა.





პარალელური გამოთვლების სქემა

გვაქვს "ფენქციური მანქანა" (ფმ), რომელიც ჩაწერს და გამოაჩინებს ნაწილის მონაცემები და ხდება გამოთვლების ყველა შედეგების (როგორც საშუალოდ, ასევე საბოლოოდ) დათახსოვრება, და პარალელური პროცესორები (პპ); მათგან რეკალკული მეთოდები და მათგან მონაცემების (ნახ. 2):

შევნიშნათ, რომ მთლიანად გვაქვს  $(N+1)^3$  კვანძი, კუბის მიხედვით არის  $(N-1)^3$  კვანძი, ხოლო დედაპირზე -  $(N+1)^3 - (N-1)^3$  კვანძი. ნახ. 1-ზე მოცემული ბლოკ-სქემის 1 ბლოკსთვის პარალელური გამოთვლები შეიძლება ჩაატარდეს ყველა აღნიშნულ ქვეპროცესორში. შევაჯამოთ, რამდენი პარალელური პროცესორი იქნება საჭირო ამ გამოთვლების ჩასატარებლად. წინასწარ შევნიშნათ, რომ კუბის შემთხვევაში  $N \times 8$ -თვის დედაპირის კვანძების რაოდენობა მეტია შიდა კვანძების რაოდენობაზე:  $(N+1)^3 - (N-1)^3 > (N-1)^3$ . მაშასადამე,  $N \times 8$ -ის შემთხვევაში უნდა ავიღოთ

$$P = 3 \times [(N+1)^3 - (N-1)^3] = 3 \times [2 \times (3N^2 + 1)] \quad (17)$$

პროცესორი.  $N > 0$ -ის შემთხვევაში კი უნდა ავიღოთ

$$P = 3 \times (N-1)^3 \quad (18)$$

პროცესორი. რეს პროცესორები  $r_1, r_2, \dots, r_6$  ნახევრების შესაბამისად პირდაპირ დავეთვათ ექვს "მანქანად", რომლებიც იღებენ მუდმივად ასრულებენ. შევნიშნათ, რომ პროცესორების რაოდენობა "მანქანებში" არააანაბარია, ვინაიდან კუბის წიბოს წერტილები, რომლებიც არიან ნახევრის საზღვარზე შედგებიან, დედაპირისადმი ნორმალის ტანსაცმლის (კონკრეტულად უწყვეტი და მოკიდებული) პირდაპირ უნდა მივყავართ ყოველთვის ერთ ნახევარს. ამის გათვალისწინებით მოვალე ვართ ვთქვათ "პირდაპირ მანქანებზე" განაწილების ასეთ სქემას (ნახ. 3).

2057



საქართველოს  
ხალხთა რესპუბლიკის  
ქვეყნული ბიბლიოთეკა

აქლას განვიხილოთ ნახ. 1-ზე მოცემული ბილკ-სქემის II ბილკი. შევიჩინოთ, რომ (9)-ში A), B), და C) სისტემების ჯგუფები იყოფა სამ-სამი ქვეჯგუფად: ყოველი ცალკეული ქვეჯგუფში ვაჟებს  $(N-1)^2$  სისტემა, რომელთა ამოხსნა შეიძლება ვაჟანოთლ აჟარად-ღურად. აგრეთვე აჟარადღურად ვაჟანოთლთ გამოთვლებს ქვეჯგუფების მიხედვით ყველას აღნიშნული ქვეჟარგარით შიგა კვანძებში. ესაღია, რომ საჭირო აჟარადღურა აროცესორების რაღდერება იყება  $3X(N-1)^2$ .

ჟუ განვიხილოთ აროცეს სიღის ნაოჟაში  $N < 8$  -ის შემთხვევაში, რაშინ გღდაჟინის კვანძებთან მუშაინისას (I ბილკი) გამოთვლებს ვაჟანოთლთ ნახ. 3-ზე მოცემული სქემის მიხედვით. აროცესის II ბილკზე ვაჟასღდინისას აროცესორების ექვს "შანჟანად" აროგითი ჟყოლას ან არის საჭირო და არსებულნი აროცესორების საერთო რაღდერებისან რუშა მიგაოთაროჟაში იყოლდება  $3(N-1)^2$  აროცესორი. გამოთვლები ამ ეჟაჟზე მიიღინაროლს შეიღეგისქებით (ნახ. 4).

$N > 8$ -ის შემთხვევაში აროცესორების საერთო რაღდერება 18 I ბილკისთვის გამოთვლები წარმოჟარება შეიღეგისქებით (ნახ. 5). გამოთვლებს II ბილკისთვის მუშა მიგაოთაროჟაში იქნება  $3(N-1)^2$  აროცესორი (ნახ. 6).

განვიხილოთ ღემოთაღწერითი აჟარადღური გამოთვლების სქემის რეალიზაცია მოშავღდებოთ მიიღეგრობით - აჟარადღურ (ბიჟა) სისტემებზე [3]. წაროჟადგინოთ გამოთვლითი აროცესი შესაბაჟისი ვაღისის დიჟარაჟის [2] საშუაღებით. ამ დიჟარაჟის 4-ურ აჟარადღურ-მიიღეგრობოთ რგოლს აჟვს შეიღეგის სახე (ნახ. 7). ამ ნახაბზე მოცემული მოწაკვეთები აღიოშნავერ ცალკეული ამოჟანების შეჩრღებისათვის საღირო დრს 4-ური რგოლის აჟარადღურ ბიჟზე;  $S_i$  - "მიიღეგრობოთ" ბიჟია;  $P_i$  - 4-ური რგოლის "აჟარადღური" ბიჟია.

აჟარადღური გამოთვლების განხილული აჟემისთვის ვაჟებს 13 მიიღეგრობოთ და 12 აჟარადღური ბიჟი. განვიხილოთ ნახ. -ის შესაბა-

საქართველოს  
ქვეყნული  
ბიბლიოთეკა



მისი ყველა რგოლი და გამთავსებელი დრო  $t_1$ , რომელიც საჭიროა მთელი სამუშაოს შესასრულებლად მიმდევრობითი ავტორმათის შემთხვევაში ერთი პროცესორის მიერ, დრო  $t_p$ , რომელიც ქატირდება სამუშაოს შესასრულებლად მშპ-ს პარალელურ  $P$  მიჯზე, და, აგრეთვე, სწრაფი შედეგის გაზრდის კოეფიციენტი (სპკ):

$$\xi = \frac{t_1}{t_p + t_s} \quad (19)$$

სადაც  $t_s$  არის  $S$  მიმდევრობითი მიჯის შესაბამისი დრო.

$S$  მიჯი:  $NS_1, NS_2, \dots, NS_6$  ქვეპროგრამების რეალიზაცია "გენერალურ მანუალზე"; სათანადო დრო  $t_{S1}$ .

$P$  მიჯი:  $N_1, N_2, N_3, B, D$  ქვეპროგრამების რეალიზაცია. ყოველი მშპ-ზე სრულდება შემდეგი სამუშაო: ხორციელდება რომელიმე  $MI$  ( $I=1,2,3$ ) ქვეპროგრამა, შესაბამისად  $B$  ქვეპროგრამა და, ამის შემდეგ, ყოველი  $PI$  ( $I=1, \dots, 6$ )-ისთვის -  $D$  ქვეპროგრამა. აქ  $N \leq 6$ , მაშინ ამოცანების რიცხვი, რომელიც ხორციელდება ერთ მშპ-ზე,  $n=p$ , ხოლო სხვა შემთხვევაში -  $n < p$ .

$$t_{p1} = \max_m [t_{N1}(m) + t_B(m) + t_D(m)], \quad m=1, \dots, n, \quad (20)$$

$$n = 6(3N^2 + 1).$$

დრო, რომელიც საჭიროა მიმდევრობითი იგივე გამოთვლების ჩასატარებლად. იქნება:

$$t_1 = \sum_{m=1}^{6(N^2+1)} [t_{N1}(m) + t_B(m) + t_D(m)]. \quad (21)$$

თანასადასრულ, "მიმდევრობითობის კოეფიციენტი" [2] და სპკ პირველი რგოლისთვის იქნება:

$$f_1 = \frac{t_{S1}}{t_{S1} + t_1}, \quad \xi_1 = \frac{t_1}{t_{S1} + t_{p1}} = \frac{1}{f + \frac{t_{p1}}{t_1}} \quad (22)$$



S2 Եղանակ: P1 Կարգավորող Եղանակը Եղանակների Քանակը  
"Եղանակների Քանակներում". Կատարվող ըրում  $t_{S2}$ .

P2 Եղանակ: T և M ժամանակահատվածի ընդհանուր. Կատարվող ժամանակահատվածի ընդհանուր օգտագործում, ուր P1 Եղանակը.

$$t_{P2} = \max_m [t_M(m) + t_T(m)], \quad (22)$$

$$m = 1, \dots, n, \quad n = 6(3N^2 + 1),$$

$$t_2 = \frac{6(3N^2 + 1)}{n-1} (t_M(m) + t_T(m)), \quad (24)$$

$$f_2 = \frac{t_{S2}}{t_{S2} + t_2}, \quad \epsilon_2 = \frac{t_2}{t_{S2} + t_{P2}} = \frac{1}{f_2 + \frac{t_{P2}}{t_2}} \quad (25)$$

S3 Եղանակ: P2 Եղանակը Եղանակների Քանակը "Եղանակների Քանակներում", N ժամանակահատվածի ընդհանուր օգտագործում (9) աստիճանական շղթաների օգտագործումը Կատարված ընդհանուր օգտագործումից. Կատարվող ըրում  $t_{S3}$ . Նմանապես օգտագործում, որը կազմված է օգտագործումից ընդհանուր օգտագործումից Կատարվող ընդհանուր օգտագործումը "Կարգավորող Եղանակը". Եղանակը  $3(N-1)^2$  օգտագործում օգտագործում և Ե.Ո. օգտագործում  $n < p$ .

P3 Եղանակ: N, N12, N23, F և W ժամանակահատվածի ընդհանուր A) շղթաներում.

$$t_{P3} = \max_m [t_N(m) + t_{N12}(m) + t_{N13}(m) + t_{N23}(m) + \quad (26)$$

$$+ t_F(m) + t_W(m)], \quad m = 1, \dots, n, \quad n = 3(N-1)^2$$

$$t_3 = \frac{3(N-1)^2}{n-1} [t_N(m) + t_{N12}(m) + t_{N13}(m) + t_{N23}(m) + \quad (27)$$
$$+ t_F(m) + t_W(m)].$$





$f_3$  და  $\epsilon_3$  გამოითვლება (22)-ის ანალოგიურად.

S4 ბიჯი: W ქვეროგრაფის რეალიზაციის შედეგების დაშვებებს ერება "გენერალურ მანქანაში"; სათანადო დრო -  $t_{S4}$ .

P4 ბიჯი: N და W ქვეროგრაფების რეალიზაცია ჯგუფისათვის (B)

$$t_{P4} = \max_m [t_N(m) + t_W(m)], \quad (28)$$

$$m = 1, \dots, n, \quad n = 3(N-1)^2.$$

$$t_4 = \sum_{m=1}^{3(N-1)^2} (t_N(m) + t_W(m)). \quad (29)$$

$f_4$  და  $\epsilon_4$  გამოითვლება წინა შემთხვევების ანალოგიურად.

S5 ბიჯი: P4 ბიჯზე მიღებული W ქვეროგრაფის რეალიზაციის შედეგების დაშვებებს ერება "გენერალურ მანქანაში"; სათანადო დრო

$$t_S = t_{S4}.$$

P5 ბიჯი: N და W ქვეროგრაფების რეალიზაცია (C)

ჯგუფისთვის.

$$t_{P5} = t_{P4}, \quad t_5 = t_4, \quad f_5 = f_4, \quad \epsilon_5 = \epsilon_4.$$

S6 ბიჯი: P5 ბიჯზე მიღებული W ქვეროგრაფის რეალიზაციის შედეგების დაშვებებს ერება "გენერალურ მანქანაში"; სათანადო დრო -

$$t_{S6} = t_{S5}.$$

P6 ბიჯი: Y ქვეროგრაფის რეალიზაცია.

$$t_{P6} = \max_m t_Y(m), \quad m = 1, \dots, n, \quad n = 3(N-1)^2, \quad (30)$$

$$t_6 = \sum_{m=1}^{3(N-1)^2} t_Y(m) \quad (31)$$

$f_6$  და  $\epsilon_6$  გამოითვლება წინა შემთხვევების ანალოგიურად.

S7 ბიჯი:  $\epsilon_6$  ბიჯზე მიღებული შედეგების ჩაბეჭდა "გენერალურ მანქანაში"; სათანადო დრო -  $t_{S7}$ .



$P7$  ბიჯი: აქედან დაწყებული ხდება გადასვლა  $J = J+1$  (ნ. ნ. 1) და ეს ბიჯი ფაქტურად იმეორებს  $P1$  ბიჯს. ასევე მკვეთრია, რომ  $S8$  ბიჯი იმეორებს  $S2$  ბიჯს,  $P8$  იმეორებს  $P2$ -ს და  $S9$  იმეორებს  $S3$ -ს,  $P9-P3$ ,  $S10-S4$ ,  $P10-P4$ ,  $S11-S5$ ,  $P11-P5$ ,  $S12-S6$ ,  $P12-P6$ ,  $S13-S7$ . ყველა სამართო შედეგს მიღება ხდება "ცენტრალური მანქანიდან".

ასევე ჩვენ ვაძიებთ ვალიანის დიპგრამის ცალკეული ჩაღებებისთვის სტა  $\epsilon$ . ეს გამოთვლითი სამუშაო მოითხოვს რამდენიმე მიმდევრობით და პარალელურ ბიჯს, ამ შემთხვევაშიც შეგვიძლია გარვიმართო სტა  $\epsilon$  რვაოცე ვნო, რომელიც საჭიროა ამ სამუშაოს შესასრულებლად ერთნოვეტორიან მანქანაზე, შეგარდებული იმ დროსთან, რომელიც საჭიროა მის შესასრულებლად მძა-ზე:

$$\epsilon = \frac{T_1}{T_P + T_S} \tag{32}$$

სადაც  $T_1 = \sum_{k=1}^L (t_{SK} + \sum_{m=1}^n t_k(m))$ ,  $T_P = \sum_{k=1}^L \max_m t_k(m)$ ,

$T_S = \sum_{k=1}^L t_{SK}$   $L$  - ჩაღებების რაოდენობა ვალიანის დიპგრამაზე, განიილელი სქებისთვის  $L=12$ . მარტივად შეკიდდება შემდეგი შენიშვნა:

თვორება.  $L$  ჩაღიანი ვალიანის დიპგრამის შესამართნი სტა მართლადგენს ცალკეული ჩაღებების სტა-ებს ამოხმნებად კომბინირებას:

$$\epsilon = \sum_{k=1}^L \frac{t_{SK} + t_{PK}}{T_P + T_S} \epsilon_K \tag{33}$$

შევნიშნოთ, რომ ისევე, როგორც ცალკეული ჩაღებებისთვის, აქველი დიპგრამისთვისაც (33), შეიძლება მართლადგინოთ შემდეგი სახით:

$$\epsilon = \frac{1}{f + \frac{T_P}{T_1}} \tag{34}$$





სადაც ვაღიჯის დიაგრამის "შიმდევრობითობის კოეფიციენტი" წარ-  
მოადგენს ცალკეული რგოლების "შიმდევრობითობის კოეფიციენტების"  
ამონზონტალ კომბინაციას:

$$f = \frac{T_g}{T_p} = \sum_{k=1}^n \frac{t_{sk} + t_{pk}}{T_p + T_g} f_k \quad (35)$$

87 წლის 29. IX. 1993

ევს-ის მათემატიკური  
უნივერსიტეტის კათედრა

ლიტერატურა

1. Купрадзе Л.Д., Гегелия Т.Г., Башелейшвили М.О., Бурчуладзе Т.В., Трёхмерные задачи математической теории упругости и термоупругости, М., Наука, 1976.
2. В.Валых, Последовательно-параллельные вычисления. М., Мир, 1985.
3. Самарский А.А., Теория разностных схем, М., Наука, 1983.
4. ვ. ჭაჭავაძე, დინამიკის მუდმივი წიბის მდგრადი ძირითადი ამო-  
ცანის ნაგებობი ამოცანა, მსუ წიბოები, სერია "გამოყენებელი  
მათემატიკა" ტ. 14 (315), 1993.



Г.В.Моладзе, Дж.Т.Гачечиладзе

ЧИСЛЕННОЕ РЕШЕНИЕ ВТОРОЙ ОСНОВНОЙ ЗАДАЧИ ДИНАМИКИ  
СМЕШАННОГО ТИПА МАТЕМАТИЧЕСКОЙ ТЕОРИИ УПРУГОСТИ НА  
ПОПЕРЕМЕННО ПОСЛЕДОВАТЕЛЬНО-ПАРАЛЛЕЛЬНЫХ СИСТЕМАХ

Резюме

Представлен последовательный алгоритм численного решения второй основной задачи динамики математической теории упругости, на основе которого построена схема параллельных вычислений. Рассмотрена реализация этой схемы на попеременно последовательно-параллельных системах. Вычислен коэффициент повышения быстродействия.

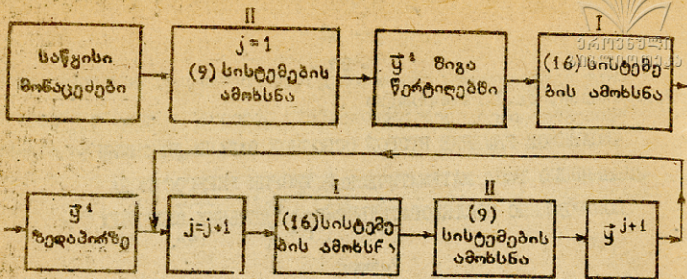
И. Meladze, J. Gachechiladze

NUMERICAL SOLUTION OF A MIXED TYPE SECOND  
FUNDAMENTAL PROBLEM OF DYNAMICS IN THE MATHEMATICAL  
THEORY OF ELASTICITY WITH ALTERNATING SEQUENTIAL-  
PARALLEL SYSTEMS

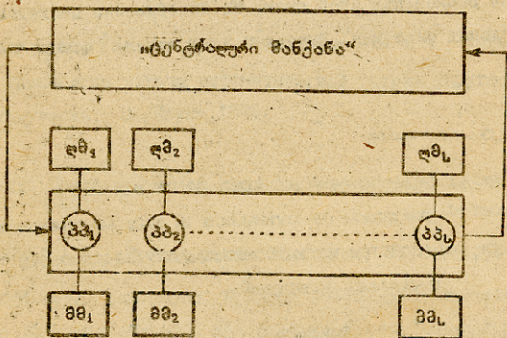
Summary

A sequential algorithm is presented for the numerical solution of the second fundamental problem of the mathematical theory of elasticity, with a scheme of parallel computations constructed on its basis. The realization of this scheme with alternating sequential-parallel systems is considered, and the coefficient of increasing the speed has been calculated.

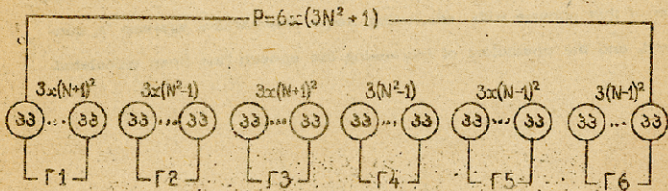




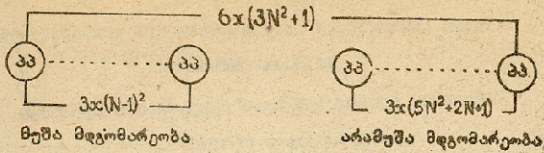
ნახ. 1



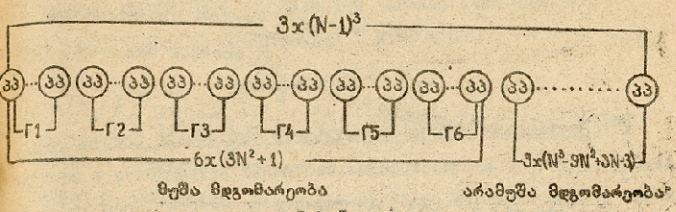
ნახ. 2



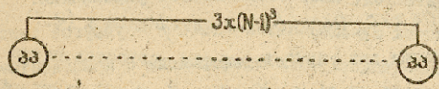
ნახ. 3



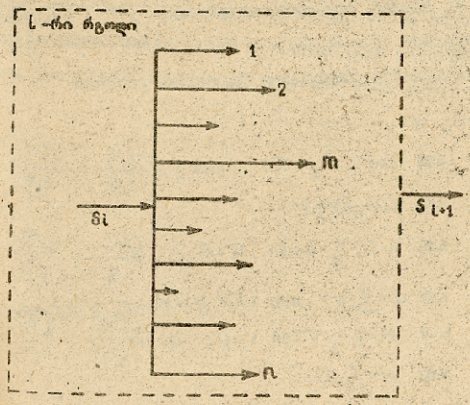
ნახ. 4



ნახ. 5



ნახ. 6



ნახ. 7



О НЕКОТОРЫХ ЗАДАЧАХ ОПТИМАЛЬНОГО УПРАВЛЕНИЯ ТЕОРИИ  
УПРУГОСТИ С КВАДРАТИЧНЫМ ФУНКЦИОНАЛОМ

Н. Т. Одиселидзе

Г<sup>0</sup>. Постановка задачи оптимального управления при чистом сдвиге. В точном машиностроении возникает потребность в исследовании деформативности одной из деталей редуктора, приводящая нас к рассматриваемой ниже задаче оптимального управления.

Пусть  $\bar{G} = \{0 < x < a, 0 < y < b, 0 < z < c\}$  - упругое тело.  $V(u, v, \omega)$  - вектор перемещения при упругой деформации с компонентами  $u, v, \omega$  соответственно, вдоль  $x, y, z$ .  $X_x, Y_y, Z_z$  - нормальные напряжения на соответствующих площадках,  $X_y, Y_z, X_z$  - касательные напряжения на указанных индексом площадках,  $Z$  - массовая сила, отнесенная к единице объема  $/\Gamma/$ .

Будем рассматривать следующие граничные условия:

$$z=0: Z_z=0; u=0; v=0; \quad (I.1)$$

$$x=0: X_y=0 \quad \text{или} \quad v=0; X_x=0 \quad \text{или} \quad u=0;$$

$$X_z=f_1(y) \quad \text{или} \quad \omega=f_1(y); \quad (I.2)$$

$$x=a: X_y=0 \quad \text{или} \quad v=0; X_x=0 \quad \text{или} \quad u=0; \quad (I.3)$$

$$X_z=f_2(y) \quad \text{или} \quad \omega=f_2(y) \quad \text{или} \quad \omega(x,y)=\sigma\omega(x_0,y)+f_2(y);$$

$$y=0: X_y=0 \quad \text{или} \quad u=0; Y_z=0 \quad \text{или} \quad v=0; \quad (I.4)$$

$$Y_z=f_3(x) \quad \text{или} \quad \omega=f_3(x);$$



$$y = b; X_y = 0 \text{ или } u = 0; Y_y = 0 \text{ или } v = 0;$$

$$y_z = f_4(x) \text{ или } \omega = f_4(x),$$

(I.5)

где  $f_i$  ( $i = 1, \dots, 4$ ) - поверхностные силы,  $\sigma$  - положительная константа,  $x_0$  - фиксированное число,  $0 < x_0 < a$ .

Потенциальная энергия деформированного упругого тела выражается следующим образом [2]:

$$I = \iiint_G \frac{1}{2\mu} [\dot{x}_x^2 + \dot{x}_y^2 + 2\mu \dot{x}_z^2] dx dy dz. \quad (I.6)$$

Поставим следующие задачи:

**Задача А.** Определить такую массовую силу  $\dot{x}$  на промежутке  $[p_1, p_2]$ , при которой равновесие тела удовлетворяет условиям (I.1)-(I.5) и минимизирует потенциальную энергию.

Здесь предполагается, что тело  $\bar{G}$  неоднородно,  $\mu(x, y)$  - заданная функция,  $p_1, p_2$  - заданные числа.

**Задача Б.** Определить функцию  $\mu(p_1 < \mu(x, y) < p_2)$  тела  $\bar{G}$  при заданных массовых силах таким образом, чтобы деформированное состояние имело минимальную потенциальную энергию.

Система уравнений равновесия упругого тела имеет следующий вид [1]:

$$\frac{\partial X_x}{\partial x} + \frac{\partial X_y}{\partial y} + \frac{\partial X_z}{\partial z} = 0;$$

$$\frac{\partial Y_x}{\partial x} + \frac{\partial Y_y}{\partial y} + \frac{\partial Y_z}{\partial z} = 0;$$

$$\frac{\partial Z_x}{\partial x} + \frac{\partial Z_y}{\partial y} + \frac{\partial Z_z}{\partial z} = 0.$$

(I.7)



Уравнения закона Гука имеют вид:

$$X_x = \lambda \left( \frac{\partial u}{\partial x} + \frac{\partial v}{\partial y} + \frac{\partial w}{\partial z} \right) + 2\mu \frac{\partial u}{\partial x} \quad (I.8)$$

$$Y_x = \lambda \left( \frac{\partial u}{\partial x} + \frac{\partial v}{\partial y} + \frac{\partial w}{\partial z} \right) + 2\mu \frac{\partial v}{\partial x};$$

$$Z_x = \lambda \left( \frac{\partial u}{\partial x} + \frac{\partial v}{\partial y} + \frac{\partial w}{\partial z} \right) + 2\mu \frac{\partial w}{\partial x};$$

$$X_y = Y_x = \mu \left( \frac{\partial v}{\partial x} + \frac{\partial u}{\partial y} \right); \quad (I.9)$$

$$X_z = Z_x = \mu \left( \frac{\partial u}{\partial z} + \frac{\partial w}{\partial x} \right);$$

$$Y_z = Z_y = \mu \left( \frac{\partial w}{\partial y} + \frac{\partial v}{\partial z} \right),$$

где  $\lambda = \lambda(x, y) = \mu \cdot E / ((1 - 2\nu)(1 + \nu))$ ,  $E$  - модуль упругости,  $\mu = \mu(x, y)$  - модуль сдвига,  $\nu = \nu(x, y)$  - коэффициент Пуассона.

Заметим, что, ввиду (I.9), граничные условия (I.I) можно записать в следующем виде:

$$z = 0, c: u = 0, v = 0, \frac{\partial w}{\partial z} = 0. \quad (I.10)$$

Решение задачи (I.I)-(I.5), (I.7)-(I.9) будем искать в виде:

$$u = 0, v = 0, w = w(x, y). \quad (I.11)$$

Можно доказать, что если  $f_i$  ( $i = 1, \dots, 4$ ) - непрерывные функции, то задача (I.I) - (I.5), (I.7) - (I.9) будет иметь единственное решение.

Ввиду того, что вектор перемещения  $V(0, 0, w(x, y))$  не зависит от  $x$  из (I.7) - (I.9) получим:



$$\frac{\partial \bar{z}_x}{\partial x} + \frac{\partial \bar{z}_y}{\partial y} = -\bar{z}(x, y),$$

(1.12)

$$X_x = 0, \quad Y_y = 0, \quad \bar{z}_x = 0, \quad X_y = Y_x = 0,$$

$$\bar{z}_x = X_x = \mu \frac{\partial \omega}{\partial x},$$

$$\bar{z}_y = Y_y = \mu \frac{\partial \omega}{\partial y}.$$

Из равенства (1.12) для определения функции  $\omega(x, y)$  получим следующее уравнение:

$$\frac{\partial}{\partial x} \left( \mu \frac{\partial \omega}{\partial x} \right) + \frac{\partial}{\partial y} \left( \mu \frac{\partial \omega}{\partial y} \right) = -\bar{z}(x, y). \quad (1.13)$$

Ввиду того, что вектор перемещения  $V(0, 0, \omega(x, y))$  не зависит от  $\bar{z}$ , рассмотрим произвольное, перпендикулярное оси  $\bar{z}$ , сечение  $\Omega$  области  $G$ . Граничные условия для этого сечения будут иметь вид:

$$\begin{aligned} x=0: \mu \frac{\partial \omega}{\partial x} &= f_1(y) && \text{или } \omega = f_1(y); \\ x=a: \mu \frac{\partial \omega}{\partial x} &= f_2(y) && \text{или } \omega = f_2(y) \text{ или } \omega(x, y) = \epsilon \omega(x_0, y) + f_2(y); \\ y=0: \mu \frac{\partial \omega}{\partial y} &= f_3(x) && \text{или } \omega = f_3(x); \\ y=b: \mu \frac{\partial \omega}{\partial y} &= f_4(x) && \text{или } \omega = f_4(x). \end{aligned} \quad (1.14)$$

Решая уравнение (1.13) при граничных условиях (1.14), из (1.11) можно определить все компоненты перемещения и, следовательно, из системы (1.8) - (1.9) - все составляющие тензора напряжения. Таким образом, тензор напряжения будет определен в любой точке упругого тела  $\bar{G}$ .

Задача А и задача Б связаны с исследованием задач оптимального управления для уравнений Пуассона (1.13) с нелокальными краевыми условиями Бицадзе-Самарского (1.14) при интегральном критерии качества (1.6).





Уравнение (I.13) является математической моделью упругого чистого сдвига четырехгранной призмы. Заметим, что если тело  $\bar{G}$  однородное то  $\mu(x, y) = \text{const}$  и уравнение (I.13) переходит в уравнение Пуассона.

Получение необходимых и достаточных условий оптимальности продемонстрируем для задачи оптимального управления уравнениями Пуассона с нелокальными краевыми условиями и квадратичным функционалом.

2°. Необходимые и достаточные условия оптимальности. Пусть  $\bar{G}$  - прямоугольник,  $\bar{G} = [0, l_1] \times [0, l_2]$ ,  $\Gamma$  - граница прямоугольной области,  $\gamma = \{(l_1, y) : 0 \leq y \leq l_2\}$ ,  $\gamma_0 = \{(x, y) : 0 \leq y \leq l_2\}$ ;  $x$  - фиксированная точка из  $[0, l_1]$ ,  $V$  - некоторое открытое подмножество из  $R$ ,  $\Omega$  - множество функций управления  $v: G \rightarrow V$ ,  $v \in L_2(\bar{G})$ .

Для каждого фиксированного  $v \in \Omega$  в области  $G$  рассмотрим задачу Бицадзе-Самарского для уравнения Гельмгольца /3/:

$$\frac{\partial^2 u}{\partial x^2} + \frac{\partial^2 u}{\partial y^2} - q(x, y)u = a(x, y)v + b(x, y), \quad (x, y) \in G, \quad (2.1)$$

$$u(x, y) = 0, \quad (x, y) \in \Gamma \setminus \gamma, \quad (2.2)$$

$$u(l_1, y) = \varepsilon u(x, y), \quad 0 \leq y \leq l_2,$$

где  $a \in L_2(G)$ ,  $b \in L_2(G)$ ,  $0 \leq q \in L_2(G)$ . Решение задачи (2.1) - (2.2) существует, единственно и принадлежит пространству  $W_2^2(G)$

/4/.

Рассмотрим функционал:

$$I(v) = \iint_G \left[ \left( \frac{\partial u}{\partial x} \right)^2 + \left( \frac{\partial u}{\partial y} \right)^2 \right] dx dy + \iint_G v^2 dx dy. \quad (2.3)$$

Поставим следующую задачу оптимального управления: найти функцию  $v_0 \in \Omega$ , при которой решение краевой задачи (2.1),



(2.2) придаёт функционалу (2.3) минимальное значение.  $V_0$  - оптимальное управление,  $u_0(x, y) = u(x, y, V_0(x, y))$  - оптимальное решение,  $(u_0, V_0)$  - оптимальная пара.

Пусть  $V_\epsilon \in \Omega$  - произвольное допустимое управление и  $u_\epsilon$  - соответствующее решение задачи (2.1)-(2.2). Введём следующие обозначения:

$$\Delta V = V_\epsilon - V_0, \quad \Delta u = u_\epsilon - u_0. \quad (2.4)$$

Тогда получаем следующую задачу:

$$\frac{\partial^2 \Delta u}{\partial x^2} + \frac{\partial^2 \Delta u}{\partial y^2} - q(x, y) \Delta u = a(x, y) \Delta u, \quad (x, y) \in G, \quad (2.5)$$

$$\begin{aligned} \Delta u(x, y) &= 0, \quad (x, y) \in \Gamma \setminus \gamma, \\ \Delta u(\ell_1, y) &= b \Delta u(\bar{x}, y), \quad 0 < y < \ell_2. \end{aligned} \quad (2.6)$$

Пусть  $\varphi \neq 0$  - произвольная интегрируемая функция. Умножая уравнение (2.5) на  $\varphi$  и интегрируя по области  $G$ , получаем следующее равенство:

$$\begin{aligned} \iint_G \varphi(x, y) \left[ \frac{\partial^2 \Delta u}{\partial x^2} + \frac{\partial^2 \Delta u}{\partial y^2} - q(x, y) \Delta u \right] dx dy = \\ = \iint_G a(x, y) \varphi(x, y) \Delta V dx dy. \end{aligned} \quad (2.7)$$

При фиксированных  $V_0$  и  $V_\epsilon$  найдем приращение функционала (2.3):

$$\begin{aligned} \Delta I = I(V_\epsilon) - I(V_0) = 2 \iint_G \left[ \frac{\partial u_0}{\partial x} \frac{\partial \Delta u}{\partial x} + \frac{\partial u_0}{\partial y} \frac{\partial \Delta u}{\partial y} + v_0 \Delta v \right] dx dy + \\ + \iint_G \left[ \left( \frac{\partial \Delta u}{\partial x} \right)^2 + \left( \frac{\partial \Delta u}{\partial y} \right)^2 \right] dx dy + \iint_G \Delta v^2 dx dy. \end{aligned} \quad (2.8)$$

Учитывая соотношения (2.7) и (2.8), для приращения  $\Delta I$  получаем следующее выражение:

$$\begin{aligned} \Delta I = \iint_G \varphi(x, y) \left[ \frac{\partial^2 \Delta u}{\partial x^2} + \frac{\partial^2 \Delta u}{\partial y^2} - q(x, y) \Delta u \right] dx dy + \iint_G (v_0 - a(x, y) \varphi) \Delta V dx dy + \\ + 2 \iint_G \left[ \frac{\partial u_0}{\partial x} \frac{\partial \Delta u}{\partial x} + \frac{\partial u_0}{\partial y} \frac{\partial \Delta u}{\partial y} + v_0 \Delta v \right] dx dy + \\ + \iint_G \left[ \left( \frac{\partial \Delta u}{\partial x} \right)^2 + \left( \frac{\partial \Delta u}{\partial y} \right)^2 + \Delta v^2 \right] dx dy. \end{aligned} \quad (2.9)$$



Для построения сопряженного уравнения (для определения  $\Psi$ ) проведем следующие преобразования:

$$\int_0^{l_1} \int_0^{l_2} \Psi(x, y) \frac{\partial^2 \Delta u}{\partial x^2} dx dy = \int_0^{l_1} \left[ \int_0^{\bar{x}} \Psi(x, y) \frac{\partial^2 \Delta u}{\partial x^2} dx + \int_{\bar{x}}^{l_1} \Psi(x, y) \frac{\partial^2 \Delta u}{\partial x^2} dx \right] dy = \int_0^{l_1} [\Psi(l_1, y) \Delta u_x(l_1, y) - \Psi(0, y) \Delta u_x(0, y) + (\Psi(\bar{x}^-, y) - \Psi(\bar{x}^+, y)) \Delta u_x(\bar{x}, y) + (\Psi_x(\bar{x}^-, y) - \Psi_x(\bar{x}^+, y) - \epsilon \Psi_x(l_1, y)) \Delta u(\bar{x}, y) + \int_0^{\bar{x}} \frac{\partial^2 \Psi}{\partial x^2} \Delta u(x, y) dx + \int_{\bar{x}}^{l_1} \frac{\partial^2 \Psi}{\partial x^2} \Delta u(x, y) dx] dy.$$

Аналогичными преобразованиями получаем:

$$\int_0^{l_1} \int_0^{l_2} \Psi(x, y) \frac{\partial^2 \Delta u}{\partial y^2} dx dy = \int_0^{l_1} [\Psi(x, l_2) \Delta u_y(x, l_2) - \Psi(x, 0) \Delta u_y(x, 0) + \int_0^{l_2} \frac{\partial^2 \Psi}{\partial y^2} \Delta u(x, y) dy] dx.$$

Рассмотрим следующее выражение:

$$\int_0^{l_1} \int_0^{l_2} \left[ \frac{\partial u_0}{\partial x} \frac{\partial \Delta u}{\partial x} + \frac{\partial u_0}{\partial y} \frac{\partial \Delta u}{\partial y} \right] dx dy = \int_0^{l_1} \int_0^{l_2} \left[ \frac{\partial u_0}{\partial x} \frac{\partial \Delta u}{\partial x} + \frac{\partial u_0}{\partial y} \frac{\partial \Delta u}{\partial y} \right] dx dy = I + II.$$

Вычислим I и II, учитывая (2.6):

$$I = \int_0^{l_1} \int_0^{l_2} \left[ \frac{\partial u_0}{\partial x} \frac{\partial \Delta u}{\partial x} \right] dx dy = \int_0^{l_2} \left[ \int_0^{l_1} \frac{\partial u_0}{\partial x} \frac{\partial \Delta u}{\partial x} dx + \int_0^{l_1} \frac{\partial u_0}{\partial x} \frac{\partial \Delta u}{\partial x} dx \right] dy = \int_0^{l_2} [(u_x(\bar{x}^-, y) - u_x(\bar{x}^+, y) + \epsilon u_x(l_1, y)) \Delta u(\bar{x}, y) - \int_0^{l_1} \frac{\partial^2 u_0}{\partial x^2} \Delta u(x, y) dx] dy;$$

$$\begin{aligned} \bar{I} &= \int_0^{t_1} \int_0^{t_2} \left[ \frac{\partial u_0}{\partial y} \frac{\partial \Delta u}{\partial y} \right] dx dy = \int_0^{t_1} \left[ \int_0^{t_2} \frac{\partial u_0}{\partial y} \frac{\partial \Delta u}{\partial y} dy \right] dx = \\ &= \int_0^{t_1} \left[ \frac{\partial u_0(x, t_2)}{\partial y} \Delta u(x, t_2) - \frac{\partial u_0(x, 0)}{\partial y} \Delta u(x, 0) - \right. \\ &\quad \left. - \int_0^{t_2} \frac{\partial^2 u_0}{\partial y^2} \Delta u(x, y) dy \right] dx = \int_0^{t_1} \int_0^{t_2} \frac{\partial^2 u_0}{\partial y^2} \Delta u(x, y) dx dy. \end{aligned}$$

Учитывая полученные выше тождества, заключаем, что если

$\psi_0$  - решение следующей задачи:

$$\begin{aligned} \frac{\partial^2 \psi}{\partial x^2} \frac{\partial^2 \psi}{\partial y^2} - q(x, y)\psi &= \lambda (q(x, y)u + a(x, y)v + b(x, y)), \\ \psi(x, y) &= 0, \quad (x, y) \in \Gamma(x, y) \in G \setminus \gamma_0, \end{aligned} \quad (2.10)$$

$$\begin{aligned} \psi_x(x^-, y) - \psi_x(x^+, y) - b\psi_x(l_1, y) &= -2b u_x(l_1, y), \\ 0 < y < l_2, \end{aligned} \quad (2.11)$$

то приращение функционала  $\Delta I$  (2.9) примет вид:

$$\begin{aligned} \Delta I = \iint_G [2v_0 - a(x, y)\psi_0] \Delta v + \iint_G \left[ \left( \frac{\partial \Delta u}{\partial x} \right)^2 + \right. \\ \left. + \left( \frac{\partial \Delta u}{\partial y} \right)^2 + \Delta v^2 \right] dx dy \end{aligned} \quad (2.12)$$

**Теорема.** Для оптимальности пары  $(u_0, v_0)$  необходимо и достаточно выполнение соотношения

$$2v_0 - a(x, y)\psi_0 = 0 \quad (2.13)$$

почти всюду на  $G$ , где  $\psi_0$  - решение задачи (2.10)-(2.11).

**Доказательство. Необходимость.** Пусть  $(u_0, v_0)$  - оптимальная пара. Покажем, что тогда выполняется условие (2.13). Докажем от противного. По определению  $2v_0 - a(x, y)\psi_0 = 0$  п.в. на  $G$  что эквивалентно следующему: возможность

$$2v_0 - a(x, y)\psi_0 \neq 0 \quad (2.14)$$



на множестве меры нуль. Положим, что  $2v_0 - a(x, y)\varphi_0 \neq 0$  на множестве положительной меры. Следовательно

$$\begin{aligned} 0 < \mu[\{(x, y) \in G / 2v_0 - a(x, y)\varphi_0 \neq 0\}] &= \mu[\{(x, y) \in G / \\ &2v_0 - a(x, y)\varphi_0 > 0\} \cup \{(x, y) \in G / 2v_0 - a(x, y)\varphi_0 < 0\}] = \\ &= \mu[\{(x, y) \in G / 2v_0 - a(x, y)\varphi_0 > 0\}] + \\ &\quad + \mu[\{(x, y) \in G / 2v_0 - a(x, y)\varphi_0 < 0\}], \end{aligned}$$

где  $\mu$  - мера Лебега на  $G$ .

Введем обозначения:

$$G_+ = \{(x, y) \in G / 2v_0 - a(x, y)\varphi_0 > 0\},$$

$$G_- = \{(x, y) \in G / 2v_0 - a(x, y)\varphi_0 < 0\}.$$

Согласно нашему допущению  $\mu(G_+) + \mu(G_-) > 0$ .

Рассмотрим два случая:  $\mu(G_+) > 0$ ,  $\mu(G_-) > 0$ .

I. Пусть  $\mu(G_+) > 0$ . Поскольку  $V$  - открыто, то  $\exists d_0 > 0$  такое, что  $v_0 + d\chi_{G_+} \in G$  при  $|d| < d_0$ , где  $\chi_{G_+}$  - характеристическая функция множества  $G_+$ .

Обозначим:  $T = 2v_0 - a(x, y)\varphi_0$ .

$\exists \varepsilon > 0$  такое, что  $\iint T dx dy > \varepsilon$ .

По определению  $\|\chi_{G_+}\|_{L^\infty} \rightarrow 0$  при  $d \rightarrow 0$ .

Пусть  $d < 0$ . Положим, что  $\Delta v = d\chi_{G_+}$ , следовательно,  $\Delta u(x, y, d\chi_{G_+})$  есть решение задачи (2.5), (2.6) и

$$\Delta u(x, y, d\chi_{G_+}) = d\Delta u(x, y, \chi_{G_+}). \quad (2.15)$$

Рассмотрим (2.12). Учитывая  $\Delta v = d\chi_{G_+}$  и (2.15), получаем:

$$\iint_G [2v_0 - a(x, y)\varphi_0] \Delta v dx dy = \iint_G T d\chi_{G_+} dx dy = \iint_{G_+} T dx dy, \quad (2.16)$$

$$\iint_G \left[ \frac{\partial \Delta u}{\partial x}(x, y, d\chi_{G_+}) \right]^2 dx dy = d^2 \iint_G \left[ \frac{\partial \Delta u}{\partial x}(x, y, \chi_{G_+}) \right]^2 dx dy, \quad (2.17)$$



$$\iint_G \left[ \frac{\partial \Delta u}{\partial y}(x, y, d\chi_{G_t}) \right]^2 dx dy = d^2 \iint_G \left[ \frac{d\Delta u}{\partial y}(x, y, \chi_{G_t}) \right]^2 dx dy. \quad (2.18)$$

По условию  $V_0$  - оптимально, поэтому для достаточно малого приращения  $\Delta V : I(V_0 + \Delta V) - I(V_0) \geq 0$ .

С другой стороны, при  $\Delta V = d\chi_{G_t}$  в силу (2.12), (2.16), (2.17), (2.18):

$$\begin{aligned} I(V_t) - I(V_0) &= \iint_G [2v_0 - a(x, y)\varphi_0] \Delta V + \iint_G \left[ \left( \frac{\partial \Delta u}{\partial x} \right)^2 + \right. \\ &+ \left. \left( \frac{\partial \Delta u}{\partial y} \right)^2 + \Delta v^2 \right] dx dy = d \left[ \iint_{G_t} T dx dy + d \iint_G \left[ \left( \frac{d\Delta u}{\partial x}(x, y, \chi_{G_t}) \right)^2 \right] dx dy + \right. \\ &+ \left. \iint_G \left[ \left( \frac{\partial \Delta u}{\partial y}(x, y, \chi_{G_t}) \right)^2 dx dy + \iint_{G_t} dx dy \right] \right]. \end{aligned}$$

$\exists \delta > 0$  такое, что при  $-\delta < d < 0$  имеет место

$$\left| d \left[ \iint_G \left( \frac{\partial \Delta u}{\partial x}(x, y, \chi_{G_t}) \right)^2 dx dy + \iint_G \left[ \left( \frac{\partial \Delta u}{\partial y}(x, y, \chi_{G_t}) \right)^2 dx dy + \iint_{G_t} dx dy \right] \right] \right| < \frac{\epsilon}{2}.$$

Следовательно, при  $-\delta < d < 0$

$$\begin{aligned} 0 < \frac{\epsilon}{2} < \iint_{G_t} T dx dy + \iint_G \left( \frac{\partial \Delta u}{\partial x}(x, y, \chi_{G_t}) \right)^2 dx dy + \\ &+ \iint_G \left[ \left( \frac{\partial \Delta u}{\partial y}(x, y, \chi_{G_t}) \right)^2 dx dy + \iint_{G_t} dx dy \right], \\ d \left[ \iint_{G_t} T dx dy + d \left[ \iint_G \left( \frac{\partial \Delta u}{\partial x}(x, y, \chi_{G_t}) \right)^2 dx dy + \right. \right. \\ &+ \left. \left. \iint_G \left[ \left( \frac{\partial \Delta u}{\partial y}(x, y, \chi_{G_t}) \right)^2 dx dy + \iint_{G_t} dx dy \right] \right] \right] < 0, \end{aligned}$$

т.е. при  $-\delta < d < 0$

$$I(V_t) - I(V_0) < 0.$$





Учитывая, что при  $|d| \leq d_0$

$$v = v_0 + d\chi_{G_+} \in \Omega$$

$$\text{и } \lim_{d \rightarrow 0} \|d\chi_{G_+}\|_{L^1} = 0$$

получаем противоречие с оптимальностью  $v_0$ . Значит  $\mu(G_+) = 0$ . Аналогично доказывается, что  $\mu(G_-) = 0$ .

Достаточность. Пусть  $2v_0 - a(x, y)v_0 = 0$  почти всюду на  $G$ . Из нашего допущения следует, что для каждого  $v_\epsilon$

$$I(v_\epsilon) - I(v_0) \geq 0,$$

т.е.  $(u_0, v_0)$  - есть оптимальная пара.

Поступила 15.X.1993

Кафедра математического  
обеспечения ЭВМ

### Литература

1. Н.И.Мусхелишвили. Некоторые основные задачи математической теории упругости. - М.:Наука, 1966. - 707с.
2. С.П.Тимошенко, Дя.Гудьер. Теория упругости. - М.:Наука, 1975. - 576с.
3. А.В.Бицадзе, А.А.Самарский. О некоторых простейших обобщениях линейных эллиптических задач. Докл.АН СССР. -1969. -Т.185. -№2. -739-740с.
4. Г.В.Меладзе, Т.С.Цуцунава, Д.Ш.Девадзе. Задача оптимального управления для дифференциальных уравнений первого порядка на плоскости с неглокальными краевыми условиями. Тбилисский государственный университет. -Тбилиси, 1987. -61с. -Деп. в Груз-минта 25.12.87. #372-1987.



ნ. ოდიშელიძე

დრამატული მართვის მათემატიკური საკითხის ამოცანათა  
აქსიომის შესახებ კვლევითი ლაბორატორია  
რეზიუმე

გამოკვლეულია მათემატიკური მართვის ტიპის ამოცანა, რომელიც  
დაკავშირებულია მარტივად ანკაღივამების დრამატიკურ წინასწარმართებას-  
თან სუბსტანციის პირობებში. მიმართულია ფუნქციონალური მართვის  
დასა, რომელიც ახდენს განსაზღვრული სივრცის პირობებში უნაკლებ  
მიწოდების, მიღებულია მათემატიკური ანკაღივამების და სუბსტანციის  
პირობა.

N. Odishelidze

ON SOME OPTIMAL CONTROL PROBLEMS OF THE THEORY  
OF ELASTICITY WITH A QUADRATIC FUNCTIONAL

Summary

The paper deals with some optimal control problems connected  
with the elastic equilibrium of a rectangular parallelepiped under its  
simple shear. The mass force which minimizes the potential energy of  
the body under consideration is assumed to be the directing function.  
The necessary and sufficient conditions of optimality are obtained.





საბჭოთავო არ. ჯანსაზღვრობის სახელმწიფო სახელმწიფო  
უნივერსიტეტის შტაბი

318, 1995

О ЧИСЛЕННОМ РЕШЕНИИ НЕКОТОРЫХ ЗАДАЧ ОПТИМАЛЬНОГО  
УПРАВЛЕНИЯ ТЕОРИИ УПРУГОСТИ

Н. Т. Олишелидзе

1°. Численная реализация двумерных модельных задач. Пусть  $G$  - прямоугольник,  $G = [0, \ell_1] \times [0, \ell_2]$ ,  $\Gamma$  - граница прямоугольной области,  $\gamma = \{(x, y) : 0 < y < \ell_2\}$ ,  $\gamma_0 = \{(x, y) : 0 < x < \ell_1\}$ ,  $\bar{x}$  - фиксированная точка из  $]\ell_1, \ell_1[$ ,  $V$  - некоторое открытое множество из  $R$ ,  $\Omega$  - множество функций управления  $v: G \rightarrow V, v \in \mathcal{L}_2(G)$

Для каждого фиксированного  $v \in \Omega$  в области  $G$  рассмотрим задачу Бицадзе-Самарского для уравнения Пуассона /1/:

$$\frac{\partial^2 u}{\partial x^2} + \frac{\partial^2 u}{\partial y^2} = a(x, y)v + b(x, y), \quad (x, y) \in G, \quad (1)$$

$$u(x, y) = 0, \quad (x, y) \in \Gamma \setminus \gamma.$$

$$u(\ell_1, y) = \varepsilon u(\bar{x}, y), \quad 0 < y < \ell_2, \quad (2)$$

где  $a \in \mathcal{L}_\infty(G)$ ,  $b \in \mathcal{L}_2(G)$ . Решение задачи (1)-(2) существует и единственно и принадлежит пространству  $W_2^2(G)$  /2/.

Рассмотрим функционал:

$$I(v) = \iint_G \left[ \left( \frac{\partial u}{\partial x} \right)^2 + \left( \frac{\partial u}{\partial y} \right)^2 \right] dx dy + \iint_G v^2 dx dy. \quad (3)$$

Поставим следующую задачу оптимального управления: найти функцию  $v_0 \in \Omega$ , при которой решение краевой задачи (1), (2) придаёт функционалу (3) минимальное значение.  $v_0$  - оптимальное управление,  $u_0(x, y) = u(x, y, v_0(x, y))$  - оптимальное решение.



$(u_0, v_0)$  - оптимальная пара. Для задачи Бицадзе-Самарского (I)-

(2) с функционалом (3) построена сопряженная задача:

$$\frac{\partial^2 \varphi}{\partial x^2} + \frac{\partial^2 \varphi}{\partial y^2} = 2(a(x, y)v + b(x, y)), \quad (x, y) \in G \setminus \gamma_0, \quad (4)$$

$$\varphi(x, y) = 0, \quad (x, y) \in \Gamma,$$

$$\varphi_x(\tilde{x}, y) - \varphi_x(\tilde{x}^+, y) - \beta \varphi_x(l_1, y) = -2\beta u_x(l_1, y), \quad 0 \leq y \leq l_2, \quad (5)$$

**Теорема.** Для оптимальности пары  $(u_0, v_0)$  необходимо и достаточно выполнение следующего соотношения:

$$2v_0 - a(x, y)\varphi_0 = 0 \quad (6)$$

почти всюду на  $G$ , где  $\varphi_0$  - решение задачи (4)-(5).

Приведём результаты численного решения задачи оптимального управления для уравнений Пуассона с нелокальными краевыми условиями (I)-(3). Учитывая (6), решение этой задачи сводится к решению системы краевых задач:

$$\frac{\partial^2 u}{\partial x^2} + \frac{\partial^2 u}{\partial y^2} = \frac{a^2(x, y)}{2} \varphi + b, \quad (x, y) \in G, \quad (7)$$

$$u(x, y) = 0, \quad (x, y) \in \Gamma \setminus \gamma, \quad (8)$$

$$u(l_1, y) = \beta u(\tilde{x}, y), \quad 0 \leq y \leq l_2,$$

$$\frac{\partial^2 \varphi}{\partial x^2} + \frac{\partial^2 \varphi}{\partial y^2} = a^2(x, y)\varphi + 2b, \quad (x, y) \in G \setminus \gamma_0, \quad (9)$$

$$\varphi(x, y) = 0, \quad (x, y) \in \Gamma, \quad (10)$$

$$\varphi_x(\tilde{x}, y) - \varphi_x(\tilde{x}^+, y) - \beta \varphi_x(l_1, y) = -2\beta u'_x(l_1, y), \quad 0 \leq y \leq l_2,$$

для решения которой построена разностная схема:

$$v_{\bar{x}_1, \bar{x}_1} + v_{\bar{x}_2, \bar{x}_2} = \tau \cdot y + T_1 T_2 b, \quad x \in \omega, \quad \tau = T_1 T_2 \frac{a^2(\omega)}{2}, \quad (11)$$

$$v(x_1, x_2) = 0, \quad x \in \Gamma_H \setminus \gamma_H,$$

$$v(l_1, x_2) = \beta v(\tilde{x}_1, x_2), \quad x_2 \in \bar{\omega}_2,$$



$$y_{\bar{x}_1, x_1} + y_{\bar{x}_2, x_2} = -\delta \delta_h(\bar{x}_1 - x_1) (y_{\bar{x}_1, (l_1, x_2)} - 2v_{\bar{x}_1, (l_1, x_2)} + 2T_1 T_2 v, \quad x \in \omega, \quad (12)$$

$$y(x_1, x_2) = 0, \quad x \in \Gamma_h,$$

где  $0 < \delta < \frac{1}{2}$ ,  $T_1, T_2$  - операторы Стеклова [3].

Схема решения полученной системы.

Для реализации разностной схемы (II)-(12) организуем итерационный процесс.

$$v_{\bar{x}_1, x_1}^{k+1} + v_{\bar{x}_2, x_2}^{k+1} = \tau y^k + T_1 T_2 v, \quad x \in \omega, \quad (13)$$

$$v^{k+1}(x_1, x_2) = 0, \quad x \in \Gamma_h \setminus \gamma_h,$$

$$v^{k+1}(l_1, x_2) = \delta v^k(\bar{x}_1, x_2), \quad x_2 \in \bar{\omega}_2, \quad (14)$$

$$y_{\bar{x}_1, x_1}^{k+1} + y_{\bar{x}_2, x_2}^{k+1} = -\delta \delta_h(x_1 - \bar{x}_1) (y_{\bar{x}_1, (l_1, x_2)}^k - 2v_{\bar{x}_1, (l_1, x_2)}^k) + 2T_1 T_2 v, \quad x \in \omega, \quad k=0, 1, \dots$$

$$y^{k+1}(x) = 0, \quad x \in \Gamma_h,$$

На каждом шаге итерации находим решение задачи (13), а затем, с помощью найденного решения, находим решение задачи (14).

Для реализации разностной схемы (II) построим аналог формулы встречной прогонки. Задачу (II) перепишем в следующем виде

$$A_i V_{i-1} - C_i V_i + B_i V_{i+1} = -f_i, \quad i=1, \dots, N-1, \quad (15)$$

$$V_0 = 0, \quad V_N = \delta V_{k_0},$$

где  $V_i$  и  $f_i$  - векторы размерности  $M_i$ ,  $C_i$  - квадратная матрица  $M_i \times M_i$ ,  $A_i$  и  $B_i$  - прямоугольные матрицы соответственно размерности  $M_i \times M_{i-1}$  и  $M_i \times M_{i+1}$ , индекс  $k_0$  соответствует узлу

Решение задачи (15) выражается с помощью следующих формул

$$V_i = F_i V_{i+1} + \eta_i, \quad i=1, \dots, k_0-1,$$

$$V_{i+1} = \alpha_{i+1} V_i + \beta_{i+1} + T_{i+1} \in V_{k_0}, \quad i=k_0, \dots, N-1,$$

$$V_{k_0} = \frac{f_{k_0} + A_{k_0} \eta_{k_0} + \beta_{k_0+1} B_{k_0}}{C_{k_0} - A_{k_0} F_{k_0} - B_{k_0} \alpha_{k_0+1} - \delta B_{k_0} T_{k_0+1}},$$

$$F_i = \frac{B_i}{C_i - A_i F_{i-1}}, \quad F_0 = 0, \quad i=1, \dots, k_0-1,$$

$$\eta_i = \frac{A_i \eta_{i-1}}{C_i - A_i F_{i-1}}, \quad \eta_0 = 0, \quad i=1, \dots, k_0-1,$$



$$\alpha_i = \frac{A_i}{C_i - B_i \alpha_{i-1}}, \quad \alpha_N = 0, \quad i = N-1, \dots, K_0+1,$$

$$\beta_i = \frac{B_i \beta_{i+1} + \alpha_i}{C_i - B_i \alpha_{i+1}}, \quad \beta_N = 0, \quad i = N-1, \dots, K_0+1,$$

$$T_i = \frac{B_i T_{i+1}}{C_i - B_i \alpha_{i+1}}, \quad T_N = 1, \quad i = N-1, \dots, K_0+1.$$

Для реализации разностной схемы (12) будем пользоваться формулами правой прогонки.

**Пример.** В качестве исходной была взята задача оптимального управления:

$$\frac{\partial^2 u}{\partial x^2} + \frac{\partial^2 u}{\partial y^2} = a(x, y)v + b(x, y), \quad (x, y) \in G = (0, l_1) \times (0, l_2), \quad (16)$$

$$u(x, y) = f_1(y), \quad (x, y) \in \Gamma \setminus \gamma,$$

$$u(l_1, y) = \beta u(\tilde{x}, y) + f_2(y), \quad 0 < y < l_2, \quad \tilde{x} \in (0, l_1),$$

$$\min_{v \in R} I(v) = \iint_G \left[ \left( \frac{\partial u}{\partial x} \right)^2 + \left( \frac{\partial u}{\partial y} \right)^2 + v^2 \right] dx dy, \quad (17)$$

где  $f_1(y) = a_0 \sin \left[ \frac{\pi}{l_2} y \right], \quad f_2(y) = b_0 \sin \left[ \frac{\pi}{l_2} y \right]$

Решение задачи (16)-(17) сходится к нахождению решения системы

$$\frac{\partial^2 u}{\partial x^2} + \frac{\partial^2 u}{\partial y^2} = \frac{a^2(x, y)}{2} \varphi + b, \quad (x, y) \in G, \quad (18)$$

$$u(x, y) = a_0 \sin \left[ \frac{\pi}{l_2} y \right], \quad (x, y) \in \Gamma \setminus \gamma, \quad (19)$$

$$u(l_1, y) = \beta u(\tilde{x}, y) + b_0 \sin \left[ \frac{\pi}{l_2} y \right],$$

$$\frac{\partial^2 \varphi}{\partial x^2} + \frac{\partial^2 \varphi}{\partial y^2} = a^2(x, y) \varphi + 2b, \quad (x, y) \in G \setminus \gamma_0, \quad (20)$$

$$\varphi(x, y) = 0, \quad (x, y) \in \Gamma,$$

$$\varphi'_x(\tilde{x}, y) - \varphi'_x(\tilde{x}, y) - \beta \varphi'_x(l_1, y) = -2\beta u'_x(l_1, y), \quad 0 < y < l_2. \quad (21)$$

Построим точное решение задач (18), (19) и (20), (21) при  $b=0$ . Пусть  $\Delta = \frac{\partial^2}{\partial x^2} + \frac{\partial^2}{\partial y^2}$ , тогда из уравнений (18) и (20) имеем  $\Delta(2u) = a^2 \varphi$  и  $\Delta \varphi - a^2 \varphi = 0$  (2). Отсюда  $\Delta(\varphi - 2u) = 0$ .



Пусть  $\varphi - \lambda u = F$ , тогда  $\Delta \varphi = 0$  (В).

Пусть  $G = G_1 \cup G_2$ , где  $G_1 = [0, \bar{x}] \times [0, l_2]$ ,  $G_2 = [\bar{x}, l_1] \times [0, l_2]$ .

$$u(x, y) = \begin{cases} u_1(x, y), & (x, y) \in G_1, \\ u_2(x, y), & (x, y) \in G_2, \end{cases} \quad (22)$$

$$\varphi(x, y) = \begin{cases} \varphi_1(x, y), & (x, y) \in G_1, \\ \varphi_2(x, y), & (x, y) \in G_2. \end{cases}$$

Учитывая (22), из (18), (19) и (20), (21) в прямоугольнике  $G_1$  получаем:

$$\Delta u_1 = \frac{\alpha^2(x)}{2} \varphi_1,$$

$$x=0: u_1(x, y) = 0, 0 < y < l_2 + \sin\left(\frac{\pi}{l_2} y\right), \quad (23)$$

$$y=0, y=l_2, 0 < x < \bar{x}: u_1(x, y) = 0,$$

$$\Delta \varphi_1 = \alpha^2(x, y) \varphi_1,$$

$$x=0: \varphi_1 = 0,$$

$$y=0, y=l_2, \varphi_1(x, y) = 0.$$

В прямоугольнике  $G_2$ :

$$\Delta u_2 = \frac{\alpha^2 \varphi_2}{2},$$

$$x=l_1: u_2(x, y) = \delta u_1(\bar{x}, y) + 0, 0 < y < l_2 \sin\left(\frac{\pi}{l_2} y\right), \quad (24)$$

$$y=0, y=l_2: u_2(x, y) = 0,$$

$$\Delta \varphi_2 = \alpha^2(x, y) \varphi_2,$$

$$x=l_1: \varphi_2(x, y) = 0,$$

$$y=0, y=l_2: \varphi_2(x, y) = 0.$$

Пгг  $x = \bar{x}$ ,

$$\varphi_{2x}'(\bar{x}, y) - \varphi_{1x}'(\bar{x}, y) - \delta \varphi_x'(\bar{x}, y) = -2\delta u_{2x}(\bar{x}, y).$$

В прямоугольниках  $G_1$  и  $G_2$  решения уравнений (А), (В) найдем с помощью метода разделения переменных [4].

$$\varphi_i = \sum_{n=1}^{\infty} \left( A_n^i e^{-\left(\frac{\pi n}{l_2} + \alpha^2\right)x} + B_n^i e^{\left(\frac{\pi n}{l_2} + \alpha^2\right)x} \right) \sin\left(\frac{\pi}{l_2} y\right), \quad i=1, 2, \quad (25)$$

$$\varphi_i = \sum_{n=1}^{\infty} \left( C_n^i e^{-\left(\frac{\pi n}{l_2} + \alpha^2\right)x} + D_n^i e^{\left(\frac{\pi n}{l_2} + \alpha^2\right)x} \right) \sin\left(\frac{\pi}{l_2} y\right), \quad i=1, 2. \quad (26)$$

Из (В) можно найти  $u_i$  :

$$\varphi_i - 2u_i = \Phi_i, \text{ откуда } u_i = \frac{\varphi_i - \Phi_i}{2}$$

$$u_i = \frac{1}{2} \sum_{n=1}^{\infty} \left( e^{-\frac{\pi n}{l_2} x} (H_n^i e^{-a^2 x} - C_n^i) + e^{-\frac{\pi n}{l_2} x} (B_n^i e^{a^2 x} - D_n^i) \right) \sin\left(\frac{\pi}{l_2} y\right), \quad i=1,2. \quad (27)$$

С учетом (23) и (24)  $u_i$  и  $\varphi_i$  удовлетворяют следующим условиям:

- 1)  $u_1(0, y) = f_1(y)$ ,
- 2)  $\varphi_1(0, y) = 0$ ,
- 3)  $\varphi_2(l_1, y) = 0$ ,
- 4)  $u_2(l_1, y) - \epsilon u_1(\bar{x}, y) = f_2(y)$ ,
- 5)  $u_1(\bar{x}, y) - u_2(\bar{x}, y) = 0$ ,
- 6)  $\varphi_{1x}'(\bar{x}, y) - \varphi_{1x}'(\bar{x}, y) - \epsilon \varphi_{2x}'(l_1, y) = -2\epsilon u_{1x}'(l_1, y)$ ,
- 7)  $\frac{\partial u_1}{\partial x} \Big|_{x=\bar{x}} - \frac{\partial u_2}{\partial x} \Big|_{x=\bar{x}} = 0$ ,
- 8)  $\varphi_1(\bar{x}, y) = \varphi_2(\bar{x}, y)$ .

Таким образом, получаем систему из 8 алгебраических уравнений с восьмью неизвестными. В таблице I, II, III приведены результаты расчёта при  $n=1$  этой системы. На основе найденных неизвестных  $H^i, B^i, C^i, D^i (i=1,2)$  из дополнительных условий (28) отыскается точное решение задачи (18), (19), (20), (21) (при  $\epsilon=0$ ).

Далее, задача (18), (19), (20), (21) была решена при помощи разностных схем (II), (12). Результаты счёта приведены в таблицах I, II, III, анализ которых подтверждает теоретический порядок скорости сходимости разностных схем (II), (12).

2°. Задача минимизации потенциальной энергии запасённой вала при чистом сдвиге для внутреннего равновесия стального тела.

В точном машиностроении возникает потребность в последовательной деформативности одной из деталей редуктора, что приводит



нас и рассматриваемой ниже задаче оптимального управления. Приведём результаты численной реализации по решению задачи минимизации потенциальной энергии, запасённой телом параллелепипедной формы. Эту задачу, при определенных предположениях, можно свести к задаче оптимального управления для уравнений Пуассона с нелокальными краевыми условиями

$$\begin{aligned} \frac{\partial^2 \omega}{\partial x_1^2} + \frac{\partial^2 \omega}{\partial x_2^2} &= -\frac{1}{\mu} \mathcal{L}(x), \quad x \in G, \\ \omega(x) &= 0,02 \sin(\pi x_2), \quad x \in \Gamma \setminus \mathcal{I}, \\ \omega(1, x_2) &= \frac{1}{2} \omega\left(\frac{1}{2}, x_2\right), \quad 0 < x_2 < 1, \end{aligned} \quad (29)$$

$$\min_{x \in \mathbb{R}} \iint_{\Omega} \frac{\mu}{2} \left[ \left( \frac{\partial \omega}{\partial x_1} \right)^2 + \left( \frac{\partial \omega}{\partial x_2} \right)^2 + \frac{2}{\mu} \sqrt{x} \right] dx_1 dx_2,$$

где  $\Omega = [0,1] \times [0,1]$  см<sup>2</sup>,  $\mu = \frac{E}{2(1+\nu)}$ ,  $E = 10 \text{ кг/см}^2$ ,  $\nu = 0,3$ .

Сравнение полученных результатов с результатами натуральных экспериментов показывает вполне удовлетворительную точность алгоритмов. Как видно из таблицы 4, значения функции перемещения получены в пределах упругой деформации, что свидетельствует о достоверности решения поставленной задачи.

Кафедра математического  
обеспечения ЭВМ

Поступила 29.X.1993.



Литература

1. А.В. Бицадзе, А.А. Самарский, О некоторых простейших обобщениях линейных эллиптических задач. Докл. АН СССР. - 1969. - Т. 185. - 12. - 739-740с.
2. Г.В. Меладзе, Т.С. Цулунава, Д.Ш. Девалдзе. Задача оптимального управления для дифференциальных уравнений первого порядка на плоскости с нелокальными краевыми условиями. Тбилисский государственный университет. - Тбилиси, 1987. - 61с. - Дел. в ГрузНИИТИ 25.12.87. №372-1987.
3. А.А. Самарский, Р.Д. Лазаров, В.Л. Макаров. Разностные схемы для дифференциальных уравнений с обобщенными решениями. М.: Наука. 1987.
4. В.И. Лебедев, В.И. Агошков. Операторы Пуанкаре-Стеклова и их приложения в анализе. - М.: ОВМ АН СССР, 1983.

5. მოხსენებები

ქვეყნის მართვის მართლმართი მართვის მართლმართი  
 ახსენებები რეგულირების ახსენებები  
 რეგულირების

მოხსენებები რეგულირების მართლმართი მართვის მართლმართი  
 ახსენებები რეგულირების მართლმართი მართვის მართლმართი  
 ახსენებები რეგულირების მართლმართი მართვის მართლმართი  
 ახსენებები რეგულირების მართლმართი მართვის მართლმართი



N. Odishelidze

ON THE NUMERICAL SOLUTION OF SOME OPTIMAL CONTROL  
PROBLEMS OF THE THEORY OF ELASTICITY

Summary

The results of the calculation of some optimal control problems connected with the elastic equilibrium of a rectangular parallelepiped under its simple shear are presented. The mass force which minimizes the potential energy of the body under consideration is assumed to be the directing function.

Таблица 1.

$10^6 \cdot v$									
1	336	478	545	577	589	582	553	488	348
2	197	321	391	426	437	426	391	320	197
3	129	227	291	327	338	327	291	227	128
4	90	165	218	250	260	250	218	165	90
5	66	123	165	191	200	191	165	123	66
6	54	102	140	163	171	163	140	103	55
7	49	93	127	149	156	149	127	93	49
8	49	93	127	149	156	149	127	93	49
9	54	102	139	162	170	162	139	102	54
10	66	123	165	191	200	191	165	123	66
	$A^1$	$B^1$	$C^1$	$D^1$	$A^2$	$B^2$	$C^2$	$D^2$	$it$
	-0.44	0.00	0.27	0.35	-0.11	0.14	0.14	0.65	22
$\  \tilde{z}_1 \ _{w_2} (G)$						$8.785 \times 10^{-5}$			

$10^6 \cdot y$									
1	190	262	293	306	303	301	279	254	186
2	108	176	213	231	235	227	203	160	101
3	67	118	152	170	175	167	146	110	57
4	42	79	105	121	126	121	104	77	41
5	23	48	68	82	88	85	73	54	29
6	14	24	40	51	57	57	49	37	19
7	8	14	15	26	33	35	31	24	13
8	4	7	8	5	14	18	18	14	7
9	2	3	3	2	1	6	8	6	3
10	0	0	0	0	0	0	0	0	0

$u(x, y) = 1, a_c = 0.02, b_0 = 0, h = 0, 1, v, y$  - приближенное решение системы (13), (14),  $A^1, B^1, C^1, D^1, A^2, B^2, C^2, D^2$  - решение системы (28).

$\tilde{z} = \text{diag}(\tilde{z}_1, \tilde{z}_2)$ , где  $\tilde{z}_1 = u - v, \tilde{z}_2 = \varphi - y, u, \varphi$  - решение системы (18), (19), (20), (21).



Таблица II

1	$10^6 \sigma$								
1	-226	-337	-487	-660	-591	175	-512	-402	-242
2	-302	-570	-739	-939	-100	977	-850	-634	-344
3	-415	-813	-115	-140	-151	147	-128	946	-503
4	-544	-111	-162	200	-218	-213	-185	-136	-726
5	-649	-146	-223	-279	-308	-303	-264	-194	-103
6	-647	-634	-635	-631	-606	-548	-453	-324	-169
7	-460	-364	390	729	937	994	903	882	366
8	-340	254	858	133	162	167	150	112	602
9	-388	116	619	101	152	131	117	887	475
10	-649	-786	-950	-107	-112	-106	-915	-668	-353
	$A^1$	$10^4 XB^1$	$10^4 XC^1$	$10^3 XD^1$	$10^3 XA^2$	$B^2$	$10^9 XC^2$	$D^2$	$it$
	-0.64	5.987	-5.986	-1.541	1.5416	0	-4.541	0.0492	19
	$ \bar{Z} _{W_2}^1$						$8.050346 \times 10^{-5}$		

1	$10^6 \psi$								
1	-482	-542	-446	-229	217	126	409	225	848
2	33	182	409	731	125	216	372	549	255
3	432	827	113	149	188	242	314	377	387
4	868	152	193	218	235	251	264	255	190
5	151	245	287	294	282	261	234	191	117
6	176	391	415	388	337	278	219	158	859
7	162	352	591	507	399	293	207	135	681
8	122	262	433	650	456	288	180	107	511
9	655	139	228	342	488	223	116	633	286
10	0	0	0	0	0	0	0	0	0

$\alpha(x, y) = t$ ,  $\alpha_0 = 0$ ,  $b_0 = 0,02$ ,  $k = 0,1$ ,  $\sigma, \psi$  — приближённое решение системы (13), (14),  $A^1, B^1, C^1, D^1, A^2, B^2, C^2, D^2$  — решение системы (28).

$Z = \max(Z_1, Z_2)$ , где  $Z_1 = u - v$ ,  $Z_2 = \psi - \gamma$ ,  $u, \psi$  — решение системы (18), (19), (20), (21).

Таблица III

1	$10^6 \sigma$								
1	-208	-352	-460	-532	-552	-547	-485	-378	-224
2	-293	-554	-769	-919	-935	-956	-831	-618	-334
3	-409	-803	-114	-139	-150	-146	126	-936	-497
4	-540	-110	-161	-199	-217	-213	-185	-136	-723
5	-648	-146	-222	-279	-305	-303	264	-194	-103
6	-646	-629	-620	-623	-597	-339	-415	-319	-166
7	-459	-298	401	743	952	100	915	692	371
8	-338	262	870	135	163	169	151	113	608
9	-386	123	632	103	127	132	119	897	480
10	-648	-782	943	-106	-111	-106	-908	-663	-350
	$A^1$	$10^3 \times B^1$	$C^1$	$D^1$	$A^2$	$B^2$	$C^2$	$D^2$	$it$
	-1.08	1.074	0.278	0.357	-1.1174	0.140	0.141	1.2940	33
	$w_2$						$8.758346 \times 10^{-5}$		

1	$10^6 \gamma$								
1	377	-394	-277	-47	413	148	437	247	988
2	100	293	549	890	142	236	395	574	268
3	482	917	128	163	203	259	331	394	402
4	911	150	204	230	248	264	277	267	197
5	155	253	297	305	293	272	244	199	121
6	180	400	426	400	348	287	227	164	892
7	166	350	605	519	409	301	213	139	705
8	125	267	442	663	466	295	185	110	527
9	670	142	233	348	497	228	119	650	294
10	0	0	0	0	0	0	0	0	0

$\alpha(x, y) = 1$ ,  $\alpha_0 = 0.02$ ,  $\beta_0 = 0.02$ ,  $k = 0.1$ ,  $\sigma, \gamma$  - приближённое решение системы (13), (14),  $A^1, B^1, C^1, D^1, A^2, B^2, C^2, D^2$  - решение системы (28).

$\bar{z} = \max(\bar{z}_1, \bar{z}_2)$ , где  $\bar{z}_1 = u - \sigma$ ,  $\bar{z}_2 = \psi - \gamma$ ,  $u, \psi$  - решение системы (18), (19), (20), (21).





Таблица IV

1	$10^9 \sigma$								
1	320	442	495	510	524	518	495	442	320
2	185	301	365	399	409	399	366	301	185
3	119	210	270	302	313	302	270	210	119
4	827	151	200	228	238	238	200	151	827
5	599	111	150	174	182	174	150	111	5.99
6	493	929	126	147	154	147	126	9.29	4.93
7	4.45	8.42	115	134	141	134	115	842	445
8	4.44	8.42	151	134	141	134	115	8.42	4.45
9	4.93	9.09	126	147	154	147	126	9.29	4.93
10	5.99	111	150	174	182	174	150	111	5.99

1	$10^{10} \sigma$								
1	3.07	5.79	8.23	110	158	266	560	357	174
2	6.50	118	161	201	255	348	508	694	339
3	110	190	242	278	314	364	430	487	488
4	187	270	338	355	360	362	362	336	244
5	350	445	464	444	407	364	317	253	152
6	320	675	531	551	460	371	290	206	111
7	258	533	833	669	509	372	263	172	8.69
8	179	366	567	782	537	344	219	132	5.36
9	1.34	185	287	396	515	248	136	7.59	3.49
10	0	0	0	0	0	0	0	0	0

$\sigma, \sigma$ -приближенное решение системы (29).  $h=0.1$



ავტორული ავტორების სახელის დასახელების და  
სწავლელისა და მანუაქროლის სახელისადაც  
დამოკიდებულია შუამავ

რ. მკვრივი

მინიმალური ნაშრომი გამოყვანილია  $V \subset V_n$  ვექტორული

სივრცის სახისის, როგორც კანონი სტრუქტურები. ნაჩვენებია, რომ  
სახელის  $H$  მატრიცის მკვრივების გამოყენებით მიიღება ელემენტარული  
წილები  $(m, k)$  - კვების კვანძები და განსაზღვრება მუ-მრისა  
განდერწილვის განსაზღვრული დამოკიდებულების ნებისაგან გამოყვანა-  
ვებშია იმ შემთხვევისათვის, როგორც მისი ელემენტები წარმოად-  
გენენ  $GF(2^m)$  ვალუას ვალის ელემენტებს.

განვიხილოთ მატრიცა

$$H_1 = \begin{bmatrix} \alpha^{1 \cdot 1} & \alpha^{1 \cdot 2} & \dots & \alpha^{1 \cdot m} \\ \alpha^{2 \cdot 1} & \alpha^{2 \cdot 2} & \dots & \alpha^{2 \cdot m} \\ \vdots & \vdots & \ddots & \vdots \\ \alpha^{m \cdot 1} & \alpha^{m \cdot 2} & \dots & \alpha^{m \cdot m} \end{bmatrix} \quad (1)$$

სად  $\alpha^i \in GF(2^m)$  ( $i, j = 1, \dots, m$ ) -  $GF(2)$  ვალის  $\beta(x) =$   
 $\sum_{k=0}^{m-1} x^k$  მანუაქროლის მოხლო გამოყვანილი ვალის ვალის  
მინიმალური კანონი კანონი ელემენტები (მუდმივი  $m \geq 5$  - მან-  
მივი რატვის განსაზღვრება, რომლისათვისაც  $\rho(x)$  დასაყვანად,  
მოხვილია (1) ნაშრომი.

$H_1$  მატრიცის ელემენტებისაგან შევადგინოთ მატრიცა





$$H_2 = \begin{bmatrix} \alpha^{i_1 j_1} & \alpha^{i_1 j_2} \\ \alpha^{i_2 j_1} & \alpha^{i_2 j_2} \\ \alpha^{i_3 j_1} & \alpha^{i_3 j_2} \\ \alpha^{i_4 j_1} & \alpha^{i_4 j_2} \end{bmatrix} \quad (2)$$

სადაც  $i_1, i_2, i_3, i_4 \in \{1, \dots, m\}$ ;  $j_1, j_2 \in \{1, \dots, m\}$ . (2) მატრიცის შედგენილია ისეთიდან, რომ მისი ელემენტებია  $\alpha^{i_v j_u}$  სვეტების  $i_v$  სვეტის და  $j_u$  სვეტის ელემენტები წარმოადგენენ  $H$  მატრიცის შესაბამის ელემენტებს  $i$  სვეტის და  $j$  სვეტის ელემენტებს.

$H_2$  მატრიცის ყოველი სვეტი სვეტის სახით განვიხილოთ ჯამი, შედგენილი შემდეგი ორი შემადგენლისაგან:

$$\left( \alpha^{i_v j_1} x_1 + \alpha^{i_v j_2} x_2 \right) \bmod P(x), \quad (3)$$

სადაც  $x_\ell \in GF(2^m)$  ( $\ell = 1, 2$ );  $v = 1, 2, 3, 4$  . შევნიშნოთ, რომ (3) ჯამის მნიშვნელობა წარმოადგენს  $m$ -განზომილებიან ორბიტი ვექტორის სახით ( $/2/$ , გვ. 182).

ქვემოთ ნაჩვენებია, რომ  $/3/$ -ში მიღებული  $m$  - ნორმის განსაზღვრების შესაბამისად სიმარტივად შეიძლება ეტყობინო:

ლემა 1.  $m$ -ნორმა ვექტორისა, რომელიც წარმოადგენს (2) მატრიცის (3) გამოსაქვედების შესაბამისად შედგენილი ჯამურ სვეტს, აკმაყოფილებს შემდეგ უტოლობებს:

$$4 \gg \left| \begin{array}{l} \alpha^{i_1 j_1} x_1 + \alpha^{i_1 j_2} x_2 \\ \alpha^{i_2 j_1} x_1 + \alpha^{i_2 j_2} x_2 \\ \alpha^{i_3 j_1} x_1 + \alpha^{i_3 j_2} x_2 \\ \alpha^{i_4 j_1} x_1 + \alpha^{i_4 j_2} x_2 \end{array} \right|_m \geq 3, \quad (4)$$



სადაც  $i_1 \neq \dots \neq i_4, j_1 \neq j_2 \in \{1, \dots, m\}$ .

დამტკიცებდა. საჭიროა დაშვებოდეს, რომ ღუბა საშინაოლიაშია  $x_2 \in GF(2^m)$  ნებისმიერი მნიშვნელობისათვის, ვარდა იმ ურთავ-  
ერში შევსებვისა, როდესაც  $x_1 = x_2 = 0$ . ვანვიჩილთ (4)-ის  
ორი (მიღებული დაშვებების თანახმად) ნებისმიერი  $x_2$  ი:

$$(\alpha^{i_1 j_1} x_1 + \alpha^{i_2 j_2} x_2) \pmod{p(x)} \tag{5}$$

$$(\alpha^{i_2 j_1} x_1 + \alpha^{i_1 j_2} x_2) \pmod{p(x)}, \tag{6}$$

სადაც  $i_1 = i_2 \in \{1, 2, 3, 4\}; j_1 = j_2 \in \{1, \dots, m\}$ .

დავუშვათ, რომ (5) ჯამი ზოლის ნოლის  $x_1, x_2$  ვანვიჩილთ  
მნიშვნელობისათვის, მაშინ საჭიროა დაშვებოდეს, რომ (6) ან არის  
ნოლის ზოლი.

მარდაც, თუ (6) ჯამი ზოლის ზოლია, ე.ი.

$$\alpha^{i_1 j_1} x_1 + \alpha^{i_1 j_2} x_2 \equiv 0 \pmod{p(x)}, \tag{5}$$

$$\alpha^{i_2 j_1} x_1 + \alpha^{i_2 j_2} x_2 \equiv 0 \pmod{p(x)}, \tag{6}$$

მაშინ  $\alpha^{i_2 j_2}$  ვანვიჩილთ (5)-ზე, ხოლო  $\alpha^{i_1 j_1}$  - (6)-ზე და  
მიღებული ვანვიჩილთ ურთავებში შევკრიბოთ; მივიღებთ:

$$(\alpha^{i_1 j_2 + i_2 j_1} + \alpha^{i_1 j_1 + i_2 j_2}) x_2 \equiv 0 \pmod{p(x)}. \tag{7}$$

ვანვიჩილთ ვანვიჩილთ ურთავ (7):  $i_1 j_2 + i_2 j_1 \neq (i_1 j_1 + i_2 j_2) \pmod{m}$ ,

სადაც ნიშნავდება შევსებვისში  $i_1 i_2 + i_2 j_1 \equiv (i_1 j_1 + i_2 j_2) \pmod{m}; (i_1 - i_2)(i_2 - j_2) \equiv$   
 $\equiv 0 \pmod{m}$ , ე.ი.  $i_1 = i_2$  ან  $j_1 = j_2$  (რადგან  $m$  მარტივი რე-  
ვილია), რაც უნდასაშინაოლია ჩვენს მიერ მიღებულ დაშვებას; რომ  
 $i_1 \neq i_2, j_1 \neq j_2$ . ვანვიჩილთ  $\alpha^{i_1 j_2 + i_2 j_1} + \alpha^{i_1 j_1 + i_2 j_2} \neq 0 \pmod{p(x)}$ .

ამიტომ ვანვიჩილთ ურთავ (7) ან მივიჩილთ ურთავებს ნოლს. აქედან ვა-





მთავრდება, რომ (6) უნდა განსხვავდებოდეს ნოლისაგან. ამრიგად მივიღოთ, რომ (5) და (6) არ შეიძლება ერთნაირად უზღოდებოდეს ნოლს  $i_1, i_2 \in \{1, \dots, m\}$  ნებისმიერი მნიშვნელობისათვის. ამიტომ  $m$ -ნომია ვექტორისა, რომელიც მიიღება (2) გამოსახულების სვეტების უბიო, არ არის საშვებ ნაკლები. იმ შემთხვევაში, როდესაც (5) და (6) ერთნაირად განსხვავებულია ნოლისაგან  $i_1, i_2 \in \{1, \dots, m\}$  ნებისმიერი მნიშვნელობისათვის, მაშინ  $m$ -ნომია (4) გამოსახულების უბიური ვექტორისგანსა მლია ლხის. დემა დამტკიცებულია.

აშადგოქონი გიოთ მტკიცდება, რომ ასევე საბარლიაინა შედეგ-გი მინს დემა.

დემა 2.  $m$ -ნომია ვექტორისა, რომელიც ნარმოადგენს (1) მარტივის ნებისმიერი საბი სვეტის ელემენტებისაგან შედგენილ ვექტორს, აკმაყოფილებს შემდეგ უზღოდებას:

$$4 \geq \begin{vmatrix} \alpha^{i_1 j_1} x_1 + \alpha^{i_1 j_2} x_2 + \alpha^{i_1 j_3} x_3 \\ \alpha^{i_2 j_1} x_1 + \alpha^{i_2 j_2} x_2 + \alpha^{i_2 j_3} x_3 \\ \alpha^{i_3 j_1} x_1 + \alpha^{i_3 j_2} x_2 + \alpha^{i_3 j_3} x_3 \\ \alpha^{i_4 j_1} x_1 + \alpha^{i_4 j_2} x_2 + \alpha^{i_4 j_3} x_3 \end{vmatrix} \geq 2, \quad (8)$$

სადაც  $\alpha \in GF(2^m)$  ( $i_1 \neq i_2 \neq i_3 \neq i_4, j_1 \neq j_2 \neq j_3 \in \{1, \dots, m\}$ );  $x_1, x_2, x_3 \in GF(2^m)$  - ერთნაირად არ უდრის ნოლს.

დემა 3.  $m$ -ნომია ვექტორისა, რომელიც ნარმოადგენს (1) მარტივის პირველი ლხი სტრუქტურისა და ნებისმიერი ლხი სვეტის ელემენტებისაგან შედგენილ ვექტორს, აკმაყოფილებს შემდეგ უზღოდებას:



$$4) \begin{vmatrix} \alpha^{1j_1} x_1 + \alpha & \alpha^{1j_2} x_2 + \alpha & \alpha^{1j_3} x_3 + \alpha & \alpha^{1j_4} x_4 \\ \alpha^{2j_1} x_1 + \alpha & \alpha^{2j_2} x_2 + \alpha & \alpha^{2j_3} x_3 + \alpha & \alpha^{2j_4} x_4 \\ \alpha^{3j_1} x_1 + \alpha & \alpha^{3j_2} x_2 + \alpha & \alpha^{3j_3} x_3 + \alpha & \alpha^{3j_4} x_4 \\ \alpha^{4j_1} x_1 + \alpha & \alpha^{4j_2} x_2 + \alpha & \alpha^{4j_3} x_3 + \alpha & \alpha^{4j_4} x_4 \end{vmatrix}_m \geq 1, \quad (9)$$

სადა  $\alpha^{ij} \in GF(2^m)$  ( $j, i = 1, \dots, 4$ ),  $x_1, \dots, x_4 \in GF(2^m)$  ეხერხება ამ უნის ნიშნად.

განვიხილომ ნიშნის ( $n, K$ ) - კოდის შექმნის მეთოდები და გვაჩვენო:

$$H = \begin{bmatrix} \alpha^1 & \alpha^2 & \dots & \alpha^m \\ \alpha^2 & \alpha^4 & \dots & \alpha^{2m} \\ \alpha^3 & \alpha^6 & \dots & \alpha^{3m} \\ \alpha^4 & \alpha^8 & \dots & \alpha^{4m} \end{bmatrix} I_{4m}, \quad (10)$$

სადა

$$I_{4m} = \begin{bmatrix} \alpha^0 & & & \\ & \alpha^0 & & \\ & & \alpha^0 & \\ & & & \alpha^0 \end{bmatrix} \quad (11)$$

$4m$  რიგის ერთგვარდანი მატრიცის, ე.ი. ნიშნის დიაგონალზე გარდაგებულია ნიშნისავე განსხვავებული კომპონენტები (განვიხილო  $n$  - რიგის მატრიცევაში - ერთანები); ხოლო ყოველი სხვა კომპონენტი ნულივანია.

მაგვქონი (10) მატრიცის მიმართ სრულდება შემდეგი უტოლობა:

$$\sum_{v=1}^4 S_{j_v} \neq 0, \quad (12)$$

სადა  $j \in \{1, 2, 3, 4\}$ ,  $S$  -  $m$  სიგრძის  $j_v$ -ის ფაორტული პარამეტრი მუდგონის მუდგამისი სიგრძეა  $j_v \in \{1, 2, \dots, m+4\}$  [2].





ცნობილია, რომ, თუ მოცემული შედარებითები მატრიცის მიმართ ყოველი  $\gamma$  და ნაყდები რაოდენობის ფაგირებული პაკეტი წარმოადგენს არანულოვან სინდრომს, მაშინ კოდი, რომელიც წარმოადგენს ამ მატრიცის ნულივან სინდრომს, ასწორებს  $t = \lfloor \frac{\gamma}{2} \rfloor$  -ჯერად ფაგირებულ პაკეტურ შეცდომებს. (12) უბოლოაში  $\gamma = 4$ ;  $t = 2$ . ამრიგად, ყოველი  $m \geq 5$  მარტივი რიცხვისათვის, რომლისათვისაც  $P(x) = \sum_{k=0}^{m-1} x^k GF(6)$  ველზე დაყვანადია, არსებობს  $m$  სიგრძის ორჯერადი ფაგირებული პაკეტური შეცდომების გამასწორებელი წრფივი  $(m^2 + 4m, m^2)$  - კოდების კლასი.  $\ell$  ხარისხის პოკური შეცდომის შედეგად  $/2/$  მივცდებთ წრფივ  $(\ell m^2 + 4\ell m, \ell m^2)$  - კოდების კლასს, რომელიც ასწორებს  $b = (\ell - 1)m + 1$  სიგრძის ორჯერად პაკეტებს.

შემოთავაზებული საფუძველზე საშარდობადა შევიდგვიყოფითა.

დებულება 1. ყოველი  $m \geq 5$  მარტივი რიცხვისათვის, რომლისათვისაც  $P(x) = \sum_{k=0}^{m-1} x^k$  დაყვანადია, არსებობს კლასი წრფივი  $(\ell m^2 + 4\ell m, \ell m^2)$  - კოდებისა, რომლებიც ასწორებენ  $b = (\ell - 1)m + 1$  სიგრძის ორჯერად პაკეტურ შეცდომებს;  $\ell \geq 1$  მოცი რიცხვი.

ინელი არ არის იმამი დარწმუნება, რომ მიღებული კოდები ხასიათდებიან შედარებით მაღალი ეფექტურობით, ვიდრე  $/4/$  ნამირობი გამოყვანილი კოდები. ასევე ცხადია, რომ (1) მატრიცი შესაძლებლობას იძლევა ავსაგო ერთხერადი პაკეტური შეცდომების შესაბამისი შედარებითები

$$H = \begin{bmatrix} \alpha^1 & \alpha^2 & \dots & \alpha^m & I_{2m} \\ \alpha^2 & \alpha^4 & \dots & \alpha^{2m} & \end{bmatrix} \quad (13)$$

მატრიცი.



$l$  ხარისხის ბლოკური მერვეის შედეგად მიღებული მაჭრისის ნულიანი სივრცე წარმოადგენს კლასს წრფივი  $(lm^2 + 2lm, lm^2)$  - კოდეზისა, რომლებიც ასწორებენ  $b = (l-1)m + 1$  სიგრძის ერთჯერად პაკეტურ შეფარებებს. ამრიგად, განვიხილოთ შედეგად საბინაროიანი შედეგი მეორეშია.

მეორე მუხა 2: ყოველი  $m$  მარტივი რიცხვისათვის არსებობს კლასი წრფივი  $(lm^2 + 2lm, lm^2)$  - კოდეზისა, რომლებიც ასწორებენ  $b = (l-1)m + 1$  სიგრძის ერთჯერად-პაკეტურ შეფარებებს, სადაც  $l \geq 1$  მედი რიცხვია.

გვაქვია, რომ მე-2 მეორე მუხაში მიღებული კოდეზი ხასიათდება იმ უფრო მაღალი ექვივალენტობით, ვიდრე /5/ ნაშრომში მოცემული კოდეზი. განვიხილოთ წრფივ განტოლებათა სისტემა:

$$\begin{aligned} \alpha^{i_1 j_1} x_1 + \alpha^{i_1 j_2} x_2 + \alpha^{i_1 j_3} x_3 &\equiv 0 \pmod{P(\alpha)}, \\ \alpha^{i_2 j_1} x_1 + \alpha^{i_2 j_2} x_2 + \alpha^{i_2 j_3} x_3 &\equiv 0 \pmod{P(\alpha)}, \\ \alpha^{i_3 j_1} x_1 + \alpha^{i_3 j_2} x_2 + \alpha^{i_3 j_3} x_3 &\equiv 0 \pmod{P(\alpha)}, \end{aligned} \quad (14)$$

სადაც  $\alpha^{ij} \in GF(2^m)$  ნიშნავს  $P(\alpha) = \sum_{k=0}^{m-1} \alpha^k$  ვექტის დეკომპოზიციას,  $m \geq 5$  მარტივი რიცხვია, რომლისათვისაც  $P(\alpha)$  დაუყვარდება  $GF(2)$  ვექტორს;  $i_1 \neq i_2 \neq i_3, j_1 \neq j_2 \neq j_3 \in \{1, \dots, m\}$ .

2-ე დევიდან გარომდინარეობს შემდეგი შედეგა

შედეგა 2. ერთგვაროვან წრფივ განტოლებათა (14) სისტემას, რომლის  $\alpha^{ij} (i_1 = i_2 = i_3, j_1 = j_2 = j_3 \in \{1, \dots, m\})$  კოდეზიციენტები (1) მაჭრისის დეკომპოზიციას, ხოლო  $\alpha_F (F \in \{1, 2, 3\})$  ვენობები მიღებული  $P(\alpha) = \sum_{k=0}^{m-1} \alpha^k - GF(2^m)$  ვექტის დეკომპოზიციას, არანულივანი ამონებია არ გააჩნია.



გნობილია, - იმიტომაცხადებს, რომ (14) სისტემას აქვს რღვევა არანუ-  
 ლუგვანი ამოხსნა, აქუვიდებელი და საკუარისი პირიშაა მისი დებეში-  
 ნანტიის რუღასან ჭოღობს. მაგრამ, რუგორც დავინახეუ, (14) სისტემას  
 არანუღვანის ამოხსნა არ გააჩნია. ამიტომ შეიძლება დავასკვნათ, რომ  
 მისი დებეშინანტი რუღისაგან განსკვავებულია, ე.ი.

$$\Delta = \begin{vmatrix} \alpha^{i_1 j_1} & \alpha^{i_1 j_2} & \alpha^{i_1 j_3} \\ \alpha^{i_2 j_1} & \alpha^{i_2 j_2} & \alpha^{i_2 j_3} \\ \alpha^{i_3 j_1} & \alpha^{i_3 j_2} & \alpha^{i_3 j_3} \end{vmatrix} \neq 0, \quad (15)$$

სადაც  $\alpha^{i_j} \in GF(2^m)$  ( $i_1 = i_2 = i_3, j_1 = j_2 = j_3 \in \{1, \dots, m\}$ )  $\text{mod } p(\alpha) =$   
 $= \sum_{k=0}^{m-1} \alpha^k$  ვთლის არანუღვანის დებეშიტებია.

შევიჩინოთ, რომ (15) დებეშინანტი წარმადგენს ვანდემონ-  
 დის განზოგადებულ დებეშინანტს, რომლის დებეშიტები  $GF(2^m)$   
 შიღულია  $p(x)$  ვთლის დებეშიტებია. მაგრამ, თუ (15)-ში შემოვი-  
 ტანთ აღნიშვნებს

$$\beta_1 = \alpha^{i_1}, \beta_2 = \alpha^{i_2}, \beta_3 = \alpha^{i_3}, \quad (15')$$

მივიღებთ

$$\Delta = \begin{vmatrix} \beta_1^{j_1} & \beta_1^{j_2} & \beta_1^{j_3} \\ \beta_2^{j_1} & \beta_2^{j_2} & \beta_2^{j_3} \\ \beta_3^{j_1} & \beta_3^{j_2} & \beta_3^{j_3} \end{vmatrix} \neq 0. \quad (15'')$$

ამრიგად საშაოლიანის შეიძლება ჭოღობება.

თეორემა 3. მე-3 რიგის ვანდემონდის ვანდემონდები (15)  
 დებეშინანტი რუღისაგან განსკვავებულია; მისი  $\beta_i$  ( $i=1, 2, 3$ ) - (15')  
 დებეშიტები  $GF(2)$  ვთღე  $p(x)$  შიღულია განსკვავებულია  $GF(2^m)$   
 რუგვანდებია ვთლის დებეშიტებია;  $j_1 = j_2 = j_3 \in \{1, \dots, m\}$ ;  $m \geq 5$   
 რუგვანდებია, რუღისაგან განსკვავებულია  $p(x) = \sum_{k=0}^{m-1} \alpha^k$  დავადანაშაოთ  $GF(2)$   
 ვთღე.

შევიჩინოთ 1.11.1983

საქართველოს მეცნიერებათა  
 აკადემიის გამომცემლობა

საბჭოთაობა

1. А.А.Алберт. Конечные поля. Кибернетический сборник, новая серия, 1966, вып. 3, стр.7-49.
2. У.Питерсон, Э.Уэлдон. Коды, исправляющие ошибки. "Мир", М., 1976.
3. Р.П.Мегрелишвили. Об обобщенной формулировке кодового расстояния. Сообщения АН ГССР, т.Х, № 2, 1967.
4. Р.П.Мегрелишвили, Фам Хонг Тхай. Класс  $(n, k)$  - кодов, исправляющих двойные пакеты ошибок. Сообщения АН ГССР, т.83, № 2, 1976.
5. Р.П.Мегрелишвили, Т.Г.Николаишвили, Фам Хонг Тхай. Класс  $(n, k)$  - кодов, исправляющих пакеты ошибок. Сообщения АН ГССР, т.81, № 2, 1976.

Р.П. Мегрелишвили

ОБ ОДНОЙ СТРУКТУРЕ БАЗИСНОЙ МАТРИЦЫ ВЕКТОРНОГО  
ПРОСТРАНСТВА И ОБОБЩЕННОЙ ДЕТЕРМИНАНТЕ ВАНДЕРМОНДА

Резюме

Рассматривается структура базисной матрицы векторного пространства, с помощью которой получаются классы кодов, исправляющих сгруппированные (пакеты) ошибки. Рассматривается частный случай определения обобщенного детерминанта Вандермонда.





R. Megrelishvili

ON A ONE STRUCTURE OF THE BASIC MATRIX OF  
A VECTOR SPACE AND ON THE GENERALIZED VANDERMONDE  
DETERMINANT

Summary

The paper considers the structure of the basic matrix of a vector space which helps construct classes of burst-error-correcting codes. A special case of generalized Vandermonde determinant is considered.

საბუნებისმეტყველო მეცნიერებების ფაკულტეტი

საბუნებისმეტყველო ფაკულტეტი

318, 1995

О ЗАДАЧЕ КОШИ С НАЧАЛЬНЫМИ ДАННЫМИ НА ЕДИНИЧНОЙ  
ОКРУЖНОСТИ

М.З.Ментешавили

Рассмотрим задачу Коши для квазилинейного уравнения Дюрера-Жакобена на плоскости переменных  $x, y$ :

$$(u_y^2 - 1)u_{xx} - 2u_x u_y u_{xy} + u_x^2 u_{yy} = 0, \quad (I)$$

гиперболического вида, за исключением точек, где производная  $u_x$  искомого решения имеет нули. Там уравнение (I) параболически вырождается. Следовательно, множество точек параболического вырождения рассматриваемого уравнения не определено. Поэтому, при постановке задачи Коши следует всегда удостовериться, не вырождается ли уравнение на носителе данных (см. /1-2/). Этого правила необходимо придерживаться и в случае, рассмотренном ниже.

Пусть  $\tau(\varphi), \chi(\varphi)$  - заданные на окружности единичного радиуса функции, соответственно дважды и один раз непрерывно дифференцируемые.

Задача Коши требует нахождения функции  $u(x, y)$ , удовлетворяющей уравнению (I) и условиям на единичной окружности  $\gamma$ :

$$u|_{\gamma} = \tau(\varphi), \quad u'|_{\gamma} = \chi(\varphi). \quad (2)$$

Вряду с решением необходимо определение и той области, в которой указанное решение можно полностью построить.



К исследованию задачи мы приступим с общего интеграла уравнения (1). Он представим при помощи двух произвольных функций  $f, g \in C^2(\mathbb{R}^1)$  и имеет вид (см. /3/):

$$f(u+y) + g(u-y) = \tau. \quad (3)$$

Получив общий интеграл (3) условиям (2), с учетом  $x = \rho \cos \theta$ ,  $y = \rho \sin \theta$ ,  $\rho = 1$ , мы получаем

$$f[\tau(\theta) + \sin \theta] + g[\tau(\theta) - \sin \theta] = \cos \theta, \quad (4)$$

$$f'[\tau(\theta) + \sin \theta](u_p + y_p) + g'[\tau(\theta) - \sin \theta](u_p - y_p) = \cos \theta.$$

Дифференцировав первое из соотношений (4) по переменной  $\theta$  и комбинируя полученный результат со вторым соотношением приходим к системе двух линейных алгебраических уравнений относительно величин  $f', g'$ , которые и определяем:

$$f'[\tau(\theta) + \sin \theta] = \frac{1}{2} \frac{1 - \nu(\theta) \sin \theta - \tau'(\theta) \cos \theta}{\nu(\theta) \cos \theta - \tau'(\theta) \sin \theta} \equiv F(\theta), \quad (5)$$

$$g'[\tau(\theta) - \sin \theta] = \frac{1}{2} \frac{1 + \nu(\theta) \sin \theta + \tau'(\theta) \cos \theta}{\nu(\theta) \cos \theta - \tau'(\theta) \sin \theta} \equiv G(\theta).$$

Предположим, что выполнено условие

$$[\tau'(\theta)]^2 - \cos^2 \theta \neq 0, \quad 0 < \theta < 2\pi. \quad (6)$$

Тогда на указанном замкнутом интервале уравнения

$$\tau(\theta) + \sin \theta \equiv x,$$

$$\tau(\theta) - \sin \theta \equiv \zeta$$

однозначно разрешены в классе действительных решений. Обозначим их соответственно через

$$\theta = T(x), \quad \theta = \bar{T}(\zeta).$$

Тогда интегрированием обоих соотношений (5) в пределах от нулевого значения  $\theta$  до произвольного  $\theta = T(x)$  в первом соотношении и  $\theta = \bar{T}(y)$  - во втором, будем иметь

$$f(x) = f[\tau(0)] + \int_0^{T(x)} F(t)(\tau'(t) + \cos t) dt, \tag{7}$$

$$g(y) = g[\tau(0)] + \int_0^{\bar{T}(y)} G(t)(\tau'(t) - \cos t) dt.$$

Их сумма уже дает нам решение задачи (I-2) в неявном виде, которое будет содержать неопределенные значения свободных функций при  $\theta = 0$ . Но путем нормирования возможно и их определение. В частности, предполагая, что соотношение (3) при  $f, g$ , определенных по формуле (7), выполняется в точке  $\rho = 1, \theta = 0$ , можем утверждать, что

$$f[\tau(0)] + g[\tau(0)] + \int_0^{T[u(0)+0]} F(t) dt + \int_0^{\bar{T}(u(0)-0)} G(t) dt = x \Big|_{x=1}$$

но учитывая тождества  $T[\tau(\theta) \cdot \sin \theta] = \theta, \bar{T}[\tau(\theta) - \sin \theta] = \theta$  для всех значений  $\theta \in [0, 2\pi]$ , в том числе и при  $\theta = 0$ , верхние пределы интегрирования в обоих интегральных слагаемых обнуляются. Следовательно,

$$f[\tau(0)] + g[\tau(0)] = x \Big|_{x=1} = 1$$

обозначательно, в неявном виде решение задачи получит форму:

$$x-1 = \int_0^{T(u+y)} F(t)(\tau'(t) + \cos t) dt + \int_0^{\bar{T}(u-y)} G(t)(\tau'(t) - \cos t) dt. \tag{8}$$

Такое представление достигается при выполнении условия (6) интегрируемости подынтегральных выражений. Если условие (6) выполняется в точке  $(1, 0)$ , то имеет место следующая





### Теорема

Если  $\tau\left(\frac{y}{x}\right)=0$ ,  $y^2\left(\frac{y}{x}\right)=1$  и функции  $\tilde{p}_i = y' + (-1)^i \sqrt{\frac{\tau''}{\tau}} (2\tau y y' - (y^2 - 1)\tau')$  в точке  $(1,0)$  имеют действительные решения одинакового знака, тогда существуют кривые  $\gamma_1$  и  $\gamma_2$ , которые являются границей области определения решения задачи, причем эти кривые касаются окружности в указанной точке;  $\gamma_1$  расположена внутри окружности и замкнута, а  $\gamma_2$  находится вне окружности и может быть как замкнутой, так и разомкнутой.

Поступила 14.XII.1994

Кафедра математического обеспечения ЭВМ

### Литература

1. E. Goursat, Sur l'integration des equations aux derivees partielles du second ordre, Paris, 1924.
2. А.В. Бипадзе, Некоторые классы уравнений в частных производных, Москва, 1981.
3. Д.К. Гвазавა, О глобальной разрешимости задачи Коши для одного нелинейного уравнения, Сосбщ. АН Грузии, т. 99, 1981, стр. 553-556.

კონუსის დიფერენციალური განტოლების ამოცანა

რეზიუმე

კონუსიკურა დიფერენციალური განტოლება

$$(u_y^2 - 1)u_{xx} - 2u_x u_y u_{xy} + u_x^2 u_{yy} = 0$$

$x, y$  ცვლადების სიბრტყეში.

დასაძინა კონუსის ამოცანა ერთეულიდან  $\gamma$  ნიშნის

$$u|_{\gamma} = \tau(\varphi), \quad u_p|_{\gamma} = \nu(\varphi),$$

სადაც  $\tau, \nu$  ერთეულიდან ნიშნის მრავალედი ირავრ და ერთეული  
კონუსიკურა მარტივადი ცნობილი ფუნქციებია ცვლადებისა. მრ-  
ველი ამოცანის ამოცანა არსებობს სახით.

M. Menteshashvili

ON A CAUCHY PROBLEM WITH INITIAL CONDITION ON A UNIT CIRCLE

Summary

The initial value problem for the Dubreil-Jakoten equation  $(u_y^2 - 1)u_{xx} - 2u_x u_y u_{xy} + u_x^2 u_{yy} = 0$  with initial conditions on a unit circle is considered. The solution of the problem in the implicit form is obtained. The theorem of the existence global solution is proved.



თბილისის იუსტორიის სახელმწიფო უნივერსიტეტი

308200000000

318.1995

## МОДЕЛИРОВАНИЕ КОММУНИКАЦИОННЫХ СИСТЕМ

Н. В. Бокучава

### § I. Введение

Коммуникационными системами называют системы, включающие большое число однотипных элементов (частиц), в которых переход из одного состояния в другое осуществляется перемещением элементов (частиц) по определенным каналам связи.

При реализации перемещений частиц в коммуникационных системах возможны два случая. Первый, когда конкретные частицы передвигающихся по тому или иному каналу связи, строго фиксированы, и второй, когда частицы случайно оказываются в том или ином канале. В первом случае коммуникационные системы называют детерминированными, а во втором — стохастическими.

Так как детерминированные коммуникационные системы можно всегда рассматривать как предельный случай стохастических систем, то мы остановимся на изучении вопросов моделирования стохастических коммуникационных систем.

Пусть частицы перемещаются из  $n$  группы начального состояния (истоков) в  $m$  группы конечного состояния (стоки), причем все истоки  $j = \overline{1, n}$  и стоки  $i = \overline{1, m}$  связаны между собой коммуникациями с соответствующей характеристикой  $T_{ij}$  (внешними такими характеристики могут служить стоимость перевозок, время передвижения и т. д.). Так как в стохастической системе выбор частицами пары  $(i, j)$ , а, следовательно, величина характери-

стики случайны, то будет существовать вероятность  $P_{ij}$  каждой конкретной реализации  $t = T_{ij}$  случайной величины  $T$  с элементами  $T_{ij}$ . Для определения  $P_{ij}$  разобьем ось  $t$  между значениями от  $\min_{i,j} T_{ij}$  до  $\max_{i,j} T_{ij}$  на  $\ell$  примыкающих друг к другу отрезков  $\Delta_k$ , внутри которых будем считать характеристики  $T_{ij}$  неразличимыми. Тогда число коммуникаций, попадающих в тот или иной отрезок  $\Delta_k$

$$n_k = \sum_{i,j} \Delta_k(T_{ij}), \quad (1)$$

где функция

$$\Delta_k(T_{ij}) = \begin{cases} 1, & T_{ij} \in \Delta_k \\ 0, & T_{ij} \notin \Delta_k \end{cases} \quad (2)$$

Количество частиц  $x_{ij}$ , передвигающихся по этим коммуникациям с неразличимыми характеристиками  $T_{ij} \in \Delta_k$ ,

$$x_{ij}(\Delta_k) = \sum_{i,j} x_{ij} \Delta_k(T_{ij}).$$

Предполагая равновероятность выбора одной конкретной коммуникации в отрезке  $\Delta_k$ , для искомой вероятности  $P_{ij}$  (вероятности выбора одной коммуникации) получим

$$P_{ij} = \frac{x_{ij}(\Delta_k)}{N n_k}, \quad \forall T_{ij} \in \Delta_k, \quad (3)$$

причем будем полагать, что при отсутствии коммуникации, т.е. при  $n_k = 0$ ,  $P_{ij} = 0$ ,  $N = \sum_{i,j} x_{ij}$  — общее число частиц.

Так как в рассматриваемой нами стохастической коммуникационной системе общее число  $N$  частиц в промежуточных состояниях размещается по  $m \cdot n$  коммуникациям с вероятностями  $P_{ij}$ , образуя при этом матрицу потоков  $X = \{x_{ij}\}$ , то вероятность реализации произвольной матрицы потока  $\Pi$



$$P(X) = \frac{N!}{\prod_{i,j} x_{i,j}!} \prod_{i,j} P_{ij}^{x_{i,j}}, \quad (4)$$

а соответствующая энтропия при использовании формулы Стирлинга примет следующий вид:

$$H(X) \approx \sum_{i,j} x_{i,j} \ln \frac{P_{ij}}{x_{i,j}} + c. \quad (5)$$

Теперь рассмотрим основные модели распределения частиц по коммуникационным системам.

## § 2. Канонические ансамбли коммуникационных систем

Как уже отмечалось, элементы коммуникационной системы характеризуются тремя признаками: истоками, стоками и коммуникациями, причем, для каждого из этих признаков существует распределение частиц по заранее заданным группам. Рассмотрим следующие варианты определения потоков.

### § 2.1. Микроканонический ансамбль коммуникационных систем

Предположим, что мы не располагаем никакой информацией о размещении частиц по  $m \cdot n$  возможным коммуникациям, т.е. не можем отдать предпочтение ни одной из реализаций  $T_{ij}$  случайной величины  $T$ , что эквивалентно принятию  $P_{ij} = \frac{1}{mn}$ . Тогда, нахождение наилучших оценок для величин потоков  $x_{i,j}$ , исходя из соотношения (5), сводится к решению следующей задачи:

$$\begin{aligned} \max_{i,j} H(X) &= - \sum_{i,j} x_{i,j} \ln x_{i,j} (mn) \\ \sum_{i,j} x_{i,j} &= N, \end{aligned}$$

решением которой будет /2/

$$x_{ij} = \frac{N}{mn} \quad (6)$$

### § 2.2. Канонический ансамбль

Определим число частиц, выходящих из каждого истока. Для этого просуммируем матрицу потоков по индексу

$$x_j = \sum_{i=1}^m x_{ij}, \quad j = \overline{1, n}.$$

Тогда вероятность выхода частица именно из этого истока будет равна

$$q_j = N^{-1} \sum_i x_{ij}, \quad j = \overline{1, n}.$$

Предположим теперь, что известно среднее значение некоторых характеристик истоков  $\langle L(q) \rangle$ , т.е.

$$\langle L(q) \rangle = \sum_j L_j(q) q_j = \frac{1}{N} \sum_{i,j} L_j(q) x_{ij},$$

тогда задача определения потоков  $x_{ij}$  сводится к решению следующей задачи:

$$\max_{x_{ij}} \left( - \sum_{i,j} x_{ij} \ln x_{ij} \right),$$

при условиях

$$\sum_{i,j} x_{ij} L_j(q) = N \langle L(q) \rangle,$$

$$\sum_j x_{ij} = a_i, \quad i = \overline{1, m},$$

решением которой будет /2/

$$x_{ij} = \xi^{-1} a_i \exp(-\lambda L_j(q)), \quad (7)$$



где

$$Z = \sum_j \exp(-\Lambda L_j(q)).$$

### § 2.3. Большой канонический ансамбль

Будем предполагать, что известно число частиц и вероятность выхода частиц из конкретного стока, число частиц, входящих в сток, и вероятность входа, средние значения характеристик коммуникационной системы как на истоке, так и на стоке. Тогда для нахождения значения потоков  $x_{ij}$  придется решить следующую вариационную задачу:

$$\max_{x_{ij}} \left( - \sum_{i,j} x_{ij} \ln x_{ij} \right),$$

при условиях

$$\sum_j x_{ij} L_j(q) = N \langle L(q) \rangle, \quad j = \overline{1, n},$$

$$\sum_i x_{ij} L_i(p) = N \langle L(p) \rangle, \quad i = \overline{1, m},$$

$$\sum_{i,j} x_{ij} = N',$$

для которой

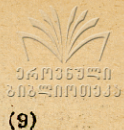
$$x_{ij} = Z^{-1} N \exp(-\Lambda_1 L_j(q) - \Lambda_2 L_i(p)), \quad (8)$$

где

$$Z = \sum_{i,j} \exp(-\Lambda_1 L_j(q) - \Lambda_2 L_i(p)).$$

### § 3. Общая постановка задачи

Всем вышерассмотренным моделям коммуникационных систем соответствует задачи математического программирования с переменными величинами потоков  $x_{ij}$ , общая формулировка которых такова:



$$\max_{i,j} \left( \sum_{i,j} x_{i,j} \ln \frac{P_{i,j}}{x_{i,j}} \right),$$

(9)

$$\sum_{i,j} a_{i,j}(\nu) x_{i,j} = b(\nu), \quad \nu = \overline{1, S},$$

$$\sum_{i,j} x_{i,j} = N, \quad i = \overline{1, m}, \quad j = \overline{1, n},$$

(10)

где  $b(\nu)$  и  $a_{i,j}(\nu)$  — коэффициенты, определяемые типом задач, общее решение которых имеет следующий вид:

$$x_{i,j} = Z^{-1} P_{i,j} \exp \left( \sum_{\nu=1}^S \lambda(\nu) a_{i,j}(\nu) \right),$$

(11)

где

$$Z = \sum_{i,j} \exp \left( \sum_{\nu=1}^S \lambda(\nu) a_{i,j}(\nu) \right),$$

(12)

а  $\lambda(\nu)$  определяются из условий (10). Случай, когда некоторые  $P_{i,j}$  равны нулю, означает, что имеются коммуникации между парами  $(i, j)$ , априорная вероятность выбора которых нулевая. Следовательно, потоки  $x_{i,j}$  по этим коммуникациям равны нулю и задача максимизации  $H(x_{i,j})$  должна рассматриваться в пространстве меньшей размерности.

Сравнивая полученные соотношения (6), (7), (8) о гиббсовскими распределениями, приходим к заключению, что модели статистической физики, связанные с распределением частиц идеального газа, по энергетическим (уровням) ячейкам можем рассматривать как стохастические коммуникационные системы.

Поступила 12.1.1994

Проблемная лаборатория  
физической кибернетики





Литература

1. А. Вильсон. Энтропийные методы моделирования сложных систем. М., "Наука", 1978.
2. Н. В. Бокучава. Общие принципы формирования моделей. Труды ТГУ, т. 258, № 6, 1985.

5. ბოკუჩავა

კომუნიკაციური სისტემების მოდელირება

რეზიუმე

პაპერში განხილულია კომუნიკაციური სისტემების მოდელირების პროცესების მოდელირების ზოგადი უნივერსული პრინციპები და პრინციპები.

W. Bokuchava

MODELLING OF COMMUNICATION SYSTEMS

Summary

The paper deals with general entropy methods and principles of modelling processes occurring in communication systems.



ОБ ОДНОЙ ОБОБЩЕННОЙ ЗАДАЧЕ НЕЙМАНА ДЛЯ ПЛОСКОЙ ПРЯМОУГОЛЬНОЙ ОРТОТРОПНОЙ ОБЛАСТИ

М.И. Кезерашвили

Как известно, обобщенная задача Неймана для плоской ортотропной области сводится к следующей краевой задаче: ищется обобщенная гармоническая функция  $U(x_1, x_2)$ , которая в области  $S$  удовлетворяет дифференциальному уравнению:

$\Delta_1 u = 0,$  (1)

в на контуре  $\Gamma$  области  $S$  - граничному условию:

$\frac{d_1 u}{dn} = f_1(x_1, x_2) \cos(n, x_1) + f_2(x_1, x_2) \cos(n, x_2),$  (2)

где  $f_1(x_1, x_2)$  и  $f_2(x_1, x_2)$  - заданные функции на контуре  $\Gamma$ ,  $n$  - внешняя нормаль к контуру, а обобщенные операторы Лапласа  $\Delta_1$  и нормальной производной  $\frac{d_1}{dn}$  имеют вид:

$\Delta_1 = M \frac{\partial^2}{\partial x_1^2} + L \frac{\partial^2}{\partial x_2^2},$   
 $\frac{d_1}{dn} = M \frac{\partial}{\partial x_1} \cos(n, x_1) + L \frac{\partial}{\partial x_2} \cos(n, x_2),$  (3)

где  $M$  и  $L$  - упругие константы.

Отметим, что для осуществления решения указанной задачи необходимо выполнение условия:

$\oint_{\Gamma} \frac{d_1 u}{dn} ds = 0$  (4)





Известно также, что ряд задач линейной и нелинейной теории упругости, как для анизотропных (изотропных) призматических тел, так и тел, близких к призматическим (напр. 1, 2, 3, 4), приводятся к задачам вида (1) и (2), в которых функции  $f_1(x_1, x_2)$  и  $f_2(x_1, x_2)$  как правило, известны полиномами не выше третьей степени, т.е. имеют следующий общий вид:

$$f_1 = b_1 x_1^3 + b_2 x_1^2 x_2 + b_3 x_1 x_2^2 + b_4 x_2^3 + b_5 x_1^2 + b_6 x_1 x_2 + b_7 x_2^2 + b_8 x_1 + b_9 x_2 + b_{10},$$

$$f_2 = c_1 x_1^3 + c_2 x_1^2 x_2 + c_3 x_1 x_2^2 + c_4 x_2^3 + c_5 x_1^2 + c_6 x_1 x_2 + c_7 x_2^2 + c_8 x_1 + c_9 x_2 + c_{10} \quad (5)$$

где  $b_1, b_2, \dots, b_{10}$  и  $c_1, c_2, \dots, c_{10}$  известные коэффициенты, значения которых определяют разные типы задач.

Настоящая работа посвящена решению вышепоставленной задачи для плоской прямоугольной ортотропной области, ограниченной прямыми  $x_1 = \pm a$ ,  $x_2 = \pm b$ , в условиях (5).

Для начала сделаем замену переменных:

$$\xi_1 = x_1 \sqrt{\frac{L+M}{2M}}, \quad \xi_2 = x_2 \sqrt{\frac{L+M}{2L}}, \quad \varphi = u \frac{L+M}{2\sqrt{LM}}, \quad (6)$$

тогда обобщенные операторы (3) превращаются в "обычные" операторы:

$$\Delta = \frac{\partial^2}{\partial \xi_1^2} + \frac{\partial^2}{\partial \xi_2^2}, \quad \frac{d}{dn} = \frac{\partial}{\partial \xi_1} \cos(n, \hat{\xi}_1) + \frac{\partial}{\partial \xi_2} \cos(n, \hat{\xi}_2),$$

а уравнение (1) и условие (2) в новых переменных можно записать в следующем разгруппированном виде:

$$\Delta \varphi = 0,$$

$$\left. \frac{\partial \varphi}{\partial \xi_1} \right|_{\xi_1 = -a \sqrt{\frac{L+M}{2M}}} = \frac{1}{M} \sqrt{\frac{L+M}{2L}} \left( -b_1 a^3 + \sqrt{\frac{2L}{L+M}} b_2 a^2 \xi_2^2 - \dots + b_{10} \right),$$



$$\left. \frac{\partial \varphi}{\partial \xi_1} \right|_{\xi_1 = a\sqrt{\frac{L+M}{2M}}} = \frac{1}{M} \sqrt{\frac{L+M}{2L}} \left( b_1 a^3 + \sqrt{\frac{2L}{L+M}} b_2 a^2 \xi_2 + \dots + b_{10} \right),$$

$$\left. \frac{\partial \varphi}{\partial \xi_2} \right|_{\xi_2 = -b\sqrt{\frac{L+M}{2L}}} = \frac{1}{L} \sqrt{\frac{L+M}{2M}} \left( c_1 \sqrt{\left(\frac{2M}{L+M}\right)^3} \xi_1^3 - \frac{2c_2 b M}{L+M} \xi_1^2 + \dots + c_{10} \right), \quad (8)$$

$$\left. \frac{\partial \varphi}{\partial \xi_2} \right|_{\xi_2 = b\sqrt{\frac{L+M}{2L}}} = \frac{1}{L} \sqrt{\frac{L+M}{2M}} \left( c_1 \sqrt{\left(\frac{2M}{L+M}\right)^3} \xi_1^3 + \frac{2c_2 b M}{L+M} \xi_1^2 + \dots + c_{10} \right).$$

Условие существования решения (4) в данном случае имеет следующий вид:

$$(3b_1 + c_2) a^3 + (b_3 + 3c_4) b^2 + 3(b_8 + c_9) = 0.$$

Для упрощения вычислений сперва преобразуем полученную задачу в другую, соответствующую уже частично нулевым граничным условиям задачу, скажем, на двух противоположных сторонах

$\xi_2 = \pm b\sqrt{\frac{L+M}{2L}}$  прямоугольника. С этой целью положим

$$\varphi = F + \omega, \quad (9)$$

где  $\omega(\xi_1, \xi_2)$  - искомая функция, а функцию  $F(\xi_1, \xi_2)$  подберем таким образом, чтобы она заранее удовлетворяла бы тем же граничным условиям на сторонах  $\xi_2 = \pm b\sqrt{\frac{L+M}{2L}}$ , что и функция  $\varphi(\xi_1, \xi_2)$ . Следовательно, одним из значений функции может служить следующее выражение:

$$F = \frac{2M c_1}{L(L+M)} \xi_1^3 \xi_2 + \frac{1}{L+M} \sqrt{\frac{M}{L}} c_2 \xi_1^2 \xi_2^2 + \frac{b^2 c_3}{L} \xi_1 \xi_2^2 + \frac{1}{2(L+M)} \sqrt{\frac{L}{M}} c_4 \xi_2^4 + \frac{1}{L} \sqrt{\frac{2M}{L+M}} c_5 \xi_1^2 \xi_2^2 + \frac{1}{\sqrt{2L(L+M)}} c_6 \xi_1 \xi_2^2, \quad (10)$$



$$+ \frac{1}{L} \sqrt{\frac{L+M}{2M}} c_7 b^2 \xi_2 + \frac{c_8}{L} \xi_1 \xi_2 + \frac{c_9}{2\sqrt{ML}} \xi_2^2 + \frac{1}{L} \sqrt{\frac{L+M}{2M}} c_{10} \xi_2.$$

Подставляя (9) в (7) и (8) и учитывая (10), получим, что исконая функция  $\omega(\xi_1, \xi_2)$  внутри преобразованного прямоугольника должна удовлетворять дифференциальному уравнению:

$$\Delta\omega = -\Delta F = A\xi_1^2 + B\xi_1\xi_2 + C\xi_2^2 + D\xi_1 + E\xi_2 + G, \quad (11)$$

а на его сторонах - граничным условиям:

$$\begin{aligned} \frac{\partial\omega}{\partial\xi_1} \Big|_{\xi_1 = -a\sqrt{\frac{L+M}{2M}}} &= \frac{1}{M} \sqrt{\frac{L+M}{2L}} \left( -b_1 a^3 + \sqrt{\frac{2L}{L+M}} b_2 a^2 \xi_2 - \dots + b_{10} \right) - \\ &- \left( \frac{3a^2 c_1}{L} \xi_2 - \sqrt{\frac{2}{L(L+M)}} a c_2 \xi_2^2 + \frac{b^2 c_3}{L} \xi_2^3 - \frac{2c_5 a}{L} \xi_2 + \frac{1}{\sqrt{2L(L+M)}} c_6 \xi_2^2 + \right. \\ &\quad \left. + \frac{1}{L} c_8 \xi_2 \right), \quad (12) \end{aligned}$$

$$\begin{aligned} \frac{\partial\omega}{\partial\xi_1} \Big|_{\xi_1 = a\sqrt{\frac{L+M}{2M}}} &= \frac{1}{M} \sqrt{\frac{L+M}{2L}} \left( b_1 a^3 + \sqrt{\frac{2L}{L+M}} b_2 a^2 \xi_2 - \dots + b_{10} \right) - \\ &- \left( \frac{3a^2 c_1}{L} \xi_2 + \sqrt{\frac{2}{L(L+M)}} a c_2 \xi_2^2 + \frac{b^2 c_3}{L} \xi_2^3 + \frac{2c_5}{L} \xi_2 + \frac{1}{\sqrt{2L(L+M)}} c_6 \xi_2^2 + \frac{1}{L} c_8 \xi_2 \right) \end{aligned}$$

$$\frac{\partial\omega}{\partial\xi_2} \Big|_{\xi_2 = -b\sqrt{\frac{L+M}{2L}}} = 0, \quad \frac{\partial\omega}{\partial\xi_2} \Big|_{\xi_2 = b\sqrt{\frac{L+M}{2L}}} = 0, \quad (13)$$

где введены обозначения

$$A = -\frac{2}{L+M} \sqrt{\frac{M}{L}} c_2, \quad B = -\frac{2Mc_1}{L(L+M)}, \quad C = -\frac{2}{L+M} \left( c_2 \sqrt{\frac{M}{L}} + 3\sqrt{\frac{L}{M}} c_4 \right),$$

$$D = -\frac{2c_6}{\sqrt{2L(L+M)}}, \quad E = -\frac{2}{L} \sqrt{\frac{2M}{L+M}} c_5, \quad G = -\frac{1}{\sqrt{ML}} c_9.$$



Неоднородное уравнение (II), при граничных условиях (I2) и (I3), решим методом тригонометрических рядов. Для этого положим:

$$\omega = \sum_{n=0}^{\infty} f_n(\xi_1) \sin \lambda_n \xi_2, \quad (I4)$$

где  $\lambda_n = \frac{(2n+1)\pi}{b} \sqrt{\frac{1}{2(L+M)}}$ , а  $f_n(\xi_1)$  — это некоторые подлежащие определению функции. При таком выборе функций  $\omega(\xi_1, \xi_2)$  граничное условие при  $\xi_2 = \pm b \sqrt{\frac{L+M}{2L}}$  будет автоматически выполнено.

Далее, разлагая предварительно по таким же функциям правую часть уравнения (II) и подставляя (I4) в (II), для определения функции  $f_n(\xi_1)$  получим линейное неоднородное дифференциальное уравнение с постоянными коэффициентами:

$$f_n''(\xi_1) - \lambda_n^2 f_n(\xi_1) = \frac{4(-1)^n \sqrt{2(L+M)} b}{\sqrt{L} \pi^2 (2n+1)^2} (B \xi_1 + E),$$

общим интегралом которого будет служить выражение:

$$f_n(\xi_1) = A_n \operatorname{sh} \lambda_n \xi_1 + B_n \operatorname{ch} \lambda_n \xi_1 - \frac{8(-1)^n \sqrt{2(L+M)}^3 b^3}{\pi^4 (2n+1)^4 L \sqrt{L}} (B \xi_1 + E),$$

где  $A_n$  и  $B_n$  — произвольные постоянные интегрирования, которые должны быть подобраны так, чтобы удовлетворить граничным условиям (I2) на двух остальных сторонах  $\xi_1 = \pm a \sqrt{\frac{L+M}{2M}}$ , что для  $A_n$  и  $B_n$  после несложных вычислений дает следующие значения:

$$A_n = \frac{-132(-1)^n (L+M) M b^4 c_1}{\pi^5 (2n+1)^5 \operatorname{ch} \frac{(2n+1)\pi a \sqrt{L}}{2b\sqrt{M}}} + \frac{8(-1)^n (L+M) b^2}{\pi^3 (2n+1)^3 \operatorname{ch} \frac{(2n+1)\pi a \sqrt{L}}{2b\sqrt{M}}} \left\{ \frac{b_2 a^2 + b_0}{M} \right.$$



$$\left. - \frac{3a^2c_1 + c_8}{L} + \frac{3b^2b_4}{M} \left[ 1 - \frac{8}{(2n+1)^2 \pi^2} \right] \right\}$$

$$B_n = \frac{8\epsilon_1^n (L+M) a b^2}{\pi^3 (2n+1)^3 L \operatorname{sh} \frac{(2n+1)\pi a \sqrt{L}}{2b\sqrt{M}}} \left( \frac{b\epsilon}{M} - \frac{2c_5}{L} \right).$$

Таким образом, коэффициенты  $A_n$  и  $B_n$  найдены, т.е. функция  $\omega(\xi_1, \xi_2)$  определена формулой (14). Следовательно, определена и функция  $\varphi(\xi_1, \xi_2) = F + \omega$ , где  $F(\xi_1, \xi_2)$  имеет значение (10), которое, однако, в окончательной записи решения должно быть представлено в виде разложения по синусам, так как при определении  $A_n$  и  $B_n$  по условиям (12) производные  $\partial F / \partial \xi_1$  и  $\partial F / \partial \xi_2$  на сторонах  $\xi_1 = \pm a \sqrt{\frac{L+M}{2M}}$  были разложены по таким же функциям, по каким было разложено  $\omega(\xi_1, \xi_2)$ .

Используя значение ряда

$$\sum_{n=0}^{\infty} \frac{(-1)^n}{(2n+1)^2} \sin \frac{(2n+1)\pi \xi_2}{2b} = \frac{\pi^2 \xi_2}{8b}$$

и переходя в (9) к старым переменным, с учетом вышесказанного, окончательно для искомой функции  $U(x_1, x_2)$  получим:

$$\begin{aligned} U = & \frac{\pi^2}{L} (c_1 x_1^3 + b^2 c_3 x_1 + c_5 x_1^2 + c_7 b^2 + c_8 x_1 + c_{10}) + \\ & + \frac{16b^2 \sqrt{M}}{\pi^3 L} \left[ \frac{1}{M} (b_2 a^2 + b_9) - \frac{1}{L} (3c_1 a^2 + b^2 c_3 + c_8) + \right. \\ & \left. + \frac{3b^2 b_4}{M} \right] \sum_{n=0}^{\infty} \frac{(-1)^n \operatorname{sh} \frac{(2n+1)\pi \sqrt{L} x_1}{2b\sqrt{M}}}{(2n+1)^3 \operatorname{ch} \frac{(2n+1)\pi \sqrt{L} a}{2b\sqrt{M}}} \sin \frac{(2n+1)\pi x_2}{2b} + \\ & + \frac{16ab^2 \sqrt{M}}{\pi^3 L} \left( \frac{b\epsilon}{M} - \frac{2c_5}{L} \right) \sum_{n=0}^{\infty} \frac{(-1)^n \operatorname{ch} \frac{(2n+1)\pi \sqrt{L} x_1}{2b\sqrt{M}}}{(2n+1)^3 \operatorname{sh} \frac{(2n+1)\pi \sqrt{L} a}{2b\sqrt{M}}} \sin \frac{(2n+1)\pi x_2}{2b} \end{aligned} \quad (15)$$



$$+ \frac{64b^3 M}{L^2 R^4} (C_5 + 3C_1 \tau_1) \sum_{n=0}^{\infty} \frac{(-1)^n}{(2n+1)^4} \sin \frac{(2n+1)\pi x_2}{2b}$$

$$- \frac{32b^2 \tau_1}{R^5} \sqrt{\frac{M}{L}} \left( \frac{L_4}{M} - \frac{MC_1}{L^2} \right) \sum_{n=0}^{\infty} \frac{(-1)^n \operatorname{sh} \frac{(2n+1)\pi \sqrt{L} \tau_1}{2b\sqrt{M}}}{(2n+1)^5 \operatorname{ch} \frac{(2n+1)\pi \sqrt{L} a}{2b\sqrt{M}}} \sin \frac{(2n+1)\pi x_2}{2b}$$

В заключение отметим, что полученные здесь результаты охватывают целые классы конкретных граничных задач для ортотропных (изотропных) прямоугольных областей и позволяют эффективно решать их.

Для иллюстрации эффективности полученных решений в качестве конкретного примера обратимся к задаче кручения ортотропного призматического тела с прямоугольным сечением. Как известно, в этом случае в соотношениях (5) имеются следующие упрощения:

$$b_1 = b_2 = b_3 = b_4 = b_5 = b_6 = b_7 = b_8 = b_{10} = 0, \quad b_9 = M,$$

$$c_1 = c_2 = c_3 = c_4 = c_5 = c_6 = c_7 = c_9 = c_{10} = 0, \quad c_8 = -L. \quad (16)$$

Подставляя значения коэффициентов (16) в (15), легко найдем,

$$U = -2\tau_1 \sqrt{\frac{M}{L}} \frac{32b^2}{R^3} \sum_{n=0}^{\infty} \frac{(-1)^n \operatorname{sh} \frac{(2n+1)\pi \sqrt{L} \tau_1}{2b\sqrt{M}}}{(2n+1)^3 \operatorname{ch} \frac{(2n+1)\pi \sqrt{L} a}{2b\sqrt{M}}} \sin \frac{(2n+1)\pi x_2}{2b},$$

значение которого в точности соответствует известному выражению функции кручения (5).

Получено 27.I.1994

Кафедра математического  
обеспечения ЭВМ ИУ





Литература

1. Bors C.J. Teoria elasticitatii corpurilor anisotrope, Ed. Acad. republ. soc. Romania, Bucuresti, 1970, - 518p.
2. Saint - Venant B. Memoire sur la flexion des prismes, Journal de Math.(Liouville),- 1856,- v.1, sec.2,- pp.89-189.
3. Риз П.М. Деформация и напряжения естественно закрученных стержней. Изв.АН СССР, сер.мат.- 1939, № 4.-С.449-477.
4. Рухадзе А.И., Кунах К.И. Об одной задаче деформации геометрически нелинейных однородных ортотропных цилиндрических брусьев.Труды ГПИ, № 6(162), 1973. - С.5-II.
5. Love A.E. A treatise on the mathematical theory of elasticity, - Cambridge, 1927.

6. კვანტაძვირი

ბრტყლიანი ბარბუთება მრთინფრთხული არისათვის ნაიბანის  
ართი ტანბარბაბული ამიბანის მასაბაბ

რეზიუმე

ბრტყილია ართინფრთხული მრთინფრთხის მუთოფის ჭამიფრეზბინთ  
მეზბინის ართი ტანბარბაბული სასაბრტყრთ ამიბანის ამიბანია ბრტყ-  
ლი ბარბუთება მრთინფრთხული არისათვის.

M.Kezerashvili

ON ONE GENERAL PROBLEM OF NEUMAN FOR A  
RECTANGULAR ORTHOTROPIC PLANE SECTION

Summary

The title problem is solved by the method of trigonometrical series



მ ი ნ ა კ რ ს ი

1. მ. კონიაშვილი. სწრაფად დასრულებული ვაქცინური კოქსი . . . . . 5
2. ჯ. მელაძე, ჯ. გაჩეჩილაძე. ღრუკაბობის მათემატიკური მეორის რი-  
მანობის შეზღუდვი ფიქსი მუდრე ძირითადი ამოცანის ამოხსნა მინი-  
ვალუბრით მიმდევრობით-პარალელურ სისფრეებზე . . . . . 12
3. ნ. ლიბედიძე. ღრუკაბობის მეორის რეკონსტრუქცი მარტვის ბოჭორბი  
ამოცანის შესახებ კვალიკული ფუნქციონალი . . . . . 37
4. ნ. ლიბედიძე. ღრუკაბობის მეორის რეკონსტრუქცი მარტვის ბოჭორბი  
ამოცანის რიცხვი ამოხსნა . . . . . 45
5. რ. მერველიშვილი. ვაქცინური ქვესივრცის მანისური მატრიცის ერთ  
სფრეველობა და ვანდერმონის განმარტავალი ვაქცინური მანისის შე-  
სახებ . . . . . 51
6. მ. მუხომბედიძე. კოქსი ამოცანის შესახებ ერთეულიკვიან მრეწობა . . . 65
7. ნ. ბოჭორბი. კოქსიკული სისფრეების მათემატიკა . . . . . 72
8. მ. კუბერაშვილი. მრეწობი მარტობა მრეწობიკული პრისაბვის მუ-  
სანიკ ერთი განმარტავალი ამოცანის შესახებ . . . . . 80





## СО Д Е Р Ж А Н И Е

1. М.М.Кониашвили. Быстро декодируемый эффективный код. . . . .	9
2. Г.В.Меладзе, Дж.Т.Гачечиладзе. Численное решение второй основной задачи динамики смешанного типа математической теории упругости на попеременно последовательно-параллельных системах. . . . .	23
3. Н.Т.Одишелидзе. О некоторых задачах оптимального управления теории упругости с квадратичным функционалом. . . . .	26
4. Н.Т.Одишелидзе. О численном решении некоторых задач оптимального управления теории упругости. . . . .	38
5. Р.П.Мегрелишвили. Об одной структуре базисной матрицы векторного пространства и обобщенной детерминанте Ван-дермонда. . . . .	59
6. М.З.Ментешашвили. О задаче Коши с начальными данными на единичной окружности. . . . .	61
7. Н.В.Бокучава. Моделирование коммуникационных систем. . . . .	66
8. М.И.Кезерашвили. Об одной обобщенной задаче Неймана для плоской прямоугольной области. . . . .	72



C O N T E N T S

1. M.Koniashvili, Fast decodable effective code . . . . .	9
2. H.Meladze , J.Gachechiladze, Numerical solution of a mixed type second fundamental problem of dynamics in the mathematical theory of elasticity with alternating sequential-parallel systems . . . . .	23
3. N.Odishelidze, On some optimal control problems of the theory of elasticity with a quadratic functional . . . . .	37
4. N.Odishelidze, On the numerical solution of some optimal control problems of the theory of elasticity . . . . .	46
5. R.Megrelishvili, On a one structure of the basic matrix of a vector space and on the generalized Vandermonde determinant . . . . .	60
6. M.Menteshashvili, On a Cauchy problem with initial condition on a unit circle . . . . .	65
7. N.Dokushava, Modelling of communication systems. . . . .	72
8. M.Kezerashvili, On one general problem of Neuman for a rectangular Orthotropic plane section . . . . .	80



გამომცემლობის რედაქტორი ლ. აბუაშვილი  
კორექტორი ნ. მაცუცაძე

ხელმოწერილია დასაბეჭდად 12.10.95

ქაღალდის ფორმატი 60x84<sup>1</sup>/<sub>16</sub>

ნაბეჭდი ფურცლები 5,25 საბეჭდო საგამომც. ფურცლები 3.

შეკვეთის № 478 ტირაჟი 200

უფრო მეტი ინფორმაცია

თბილისის უნივერსიტეტის გამომცემლობა, 380028,

თბილისი, ი. ჭავჭავაძის ქ. 1.

თბილისის უნივერსიტეტის სტამბა, 380028,

თბილისი, ი. ჭავჭავაძის ქ. 1.